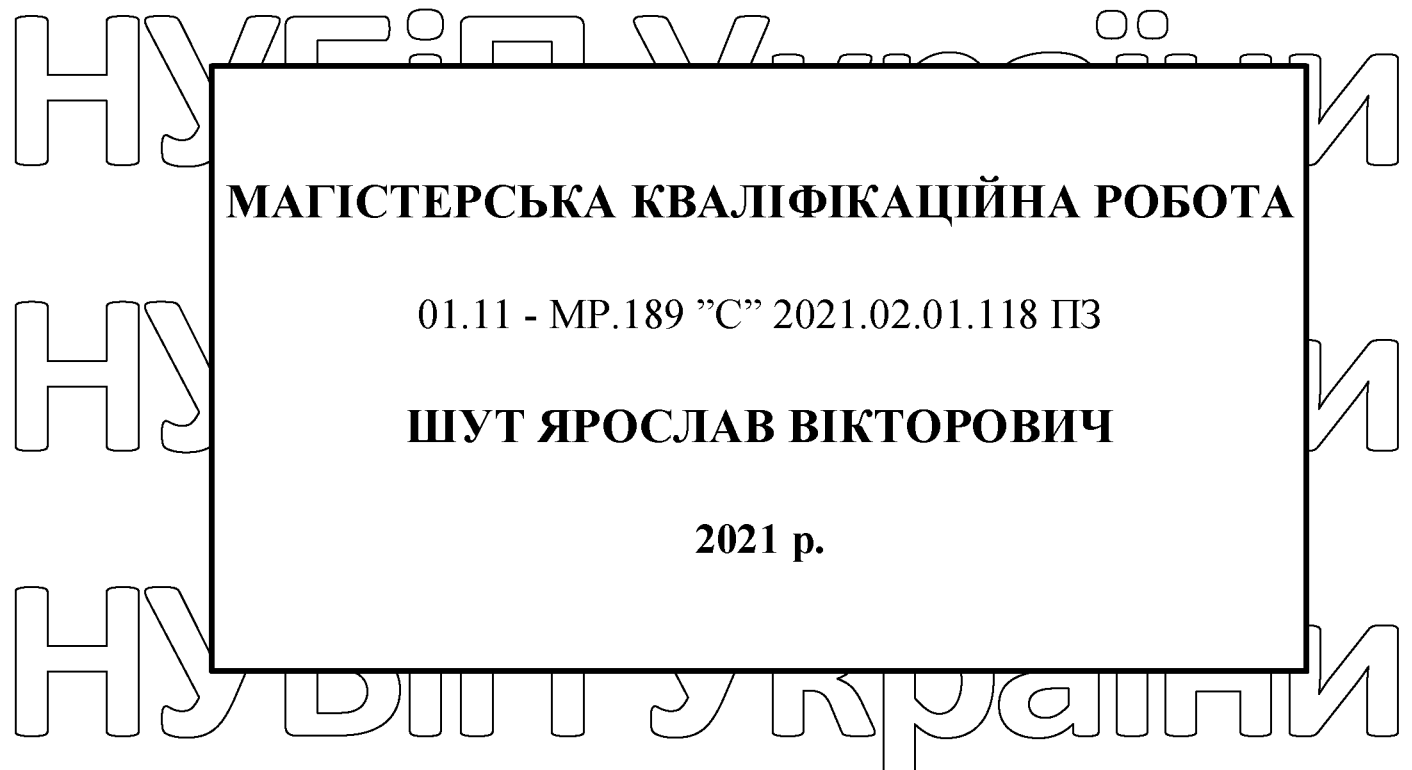


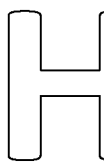
НУБІП України

НУБІП України



НУБІП України

НУБІП України



**НАЦІОНАЛЬНИЙ УНІВЕРСИТЕТ БІОРЕСУРСІВ  
І ПРИРОДОКОРИСТУВАННЯ УКРАЇНИ**

**Механіко-технологічний факультет**

**УДК 631.3:621.664-027.45**

**ПОГОДЖЕНО**  
Декан механіко-технологічного факультету

**ДО ЗАХИСТУ**  
Завідувач кафедри  
технічного сервісу та інженерного  
(назва кафедри)  
менеджменту імені М. Н. Момотенка

(підпис)

Братішко В. В.

(ПБ)

(підпис)

Роговський І. Л.

(ПБ)

2021 р.

2021 р.

«\_\_\_\_\_» 2021 р.

**НУБІП України**

**МАГІСТЕРСЬКА КВАЛІФІКАЦІЙНА РОБОТА**

**на тему Дослідження довговічності аксіально-поршневих насосів на основі  
моделювання процесів в плунжерних парах**

Спеціальність 208 «АгроЯнженерія»

(код і назва)

Освітня програма «АгроЯнженерія»

(назва)

Орієнтація освітньої програми освітньо-професійна

(освітньо-професійна, або освітньо-наукова)

**НУБІП України**

**Гарант освітньої програми**

д.т.н., С.Н.С.

(науковий ступінь та вчене звання)

(підпис)

Братішко Вячеслав Вячеславович

(ПБ)

**Керівник магістерської кваліфікаційної роботи**  
д.т.н., проф.  
(науковий ступінь та вчене звання)

(підпис)

Войтюк Валерій Дмитрович

(ПБ)

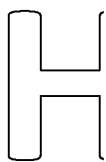
**Виконав**

(підпис)

Шут Ярослав Вікторович

(ПБ)

**НУБІП України**  
КІЇВ – 2021



**НАЦІОНАЛЬНИЙ УНІВЕРСИТЕТ БІОРЕСУРСІВ  
І ПРИРОДОКОРИСТУВАННЯ УКРАЇНИ**

**Механіко-технологічний факультет**

**ЗАТВЕРДЖУЮ**

Завідувач кафедри технічного сервісу та інженерного менеджменту  
імені М. П. Момотенка

**НУБіП України**

д.т.н., проф.  
(науковий ступінь, вчене звання)

Роговський І. Л.  
(підпис) ФІВ

2021 р.

**З А В Д А Н Н Я**

**ДО ВИКОНАННЯ МАГІСТЕРСЬКОЇ КВАЛІФІКАЦІЙНОЇ РОБОТИ СТУДЕНТУ**

**НУБіП України**

Шуту Ярославу Вікторовичу

(прізвище, ім'я, по батькові)

Спеціальність 208 «Агроінженерія»

(код і назва)

Освітня програма Агроінженерія

(назва)

Орієнтація освітньої програми освітньо-професійна

(освітньо-професійна, або освітньо-наукова)

Тема магістерської кваліфікаційної роботи Дослідження довговічності аксально-поршневих насосів на основі моделювання процесів в плунжерних парах

затверджена наказом ректора НУБіП України від «01» лютого 2021 р. № 189 «С»

Термін подання завершеної роботи на кафедру

(рік, місяць, число)

Вихідні дані до магістерської кваліфікаційної роботи Науково – технічна література; результати науково-дослідних робіт по літературних джерелах по вивченню питання довговічності деталей аксально-поршневих насосів в плунжерних парах

Перелік питань, що підлягають дослідженню:

1. Гідросистеми мобільних машин як об'єкт дослідження
2. Оптимізаційні математичні моделі конструкції гідромашин
3. Програма і методика експериментальних досліджень
4. Результати експериментальних досліджень та їх аналіз
5. Техніко-економічна оцінка результатів досліджень
6. Охорона праці та безпека в надзвичайних ситуаціях

Перелік графічного матеріалу Електронна презентація на 15 слайдах

Дата видачі завдання «11» листопада 2020 р.

**НУБіП України**

**Керівник магістерської кваліфікаційної роботи**

**Завдання прийняв до виконання**

(підпис)

(підпис)

Войтюк В.Д.

(прізвище та ініціали)

Шут Я.В.

(прізвище та ініціали)

**НУБіП України**

# РЕФЕРАТ

Пояснівальна записка до випускної кваліфікаційної роботи магістра: 83 с.,  
12 рис, 7 табл., 52 джерел.

**Об'єкт досліджень** – плунжерні пари аксіально-поршневих насосів

Г

**Предмет досліджень** – процеси тертя і зношування, які відбуваються в плунжерних парах тертя аксіально-поршневих гідромашин.

**Метою роботи є** – підвищення довговічності мобільних машин

покращення експлуатаційних характеристик аксіально-поршневих насосів

шляхом розробки інструментальних засобів проектування, заснованих на моделюванні трибологічних процесів у плунжерних парах.

**Методика досліджень** – методи аналізу, метод синтезу, статистичний

метод, експериментальний метод, метод експертних оцінок.

е Для виконання сформульованої мети дослідження необхідно поставити і мозв язти наступні завдання:

1. Аналітично обґрунтуючи, на основі взаємозв'язку залежності конструктивних положень та вихідних параметрів аксіально-поршневого

гідронасоса, можливість синтезу його оптимальних конструктивних параметрів

реальної гідромашини з параметрами деталей в плунжерних парах.

2. Провести аналітичні дослідження з виявлення впливу зміни структурних параметрів технічного стану деталей в плунжерних парах на об'ємні та механічні

втрати в аксіально-поршневому гідронасосі.

3. Провести дослідження з виявлення характеру та величини зношення деталей в спрямленнях плунжерної пари: «втулка блоку-плунжер», «кільцева опора п'ятирічного плунжера-похила шайба».

4. Експериментально визначити вплив зношення деталей в плунжерній

парі качаючого вузла аксіально-поршневого гідронасоса на його об'ємні і механічні втрати.

5. З врахуванням результатів аналітичних та експериментальних досліджень обґрунтуючи конструктивні проекти та рішення для деталей

н

плунжерної пари аксіально-поршневого гідронасоса.

Проведений аналіз літературних джерел показує, що на довговічність гідроприводу сільськогосподарських, будівельних і дорожніх машин істотний

вплив виявляють як конструктивні параметри, що закладаються на етапі проектування, так і властивості робочої рідини, які підтримуються на етапі

експлуатації. Стосовно до гідроприводів мобільних машин чутливість показників безпеки системи до зміни експлуатаційних факторів представляється виявленням характеру інтенсивності зношування елементів тертя, зокрема плунжерних пар аксіально-поршневих насосів залежно від стану робочої рідини.

Установлення параметрів, їх якісна і кількісна характеристика не одержали досить точного відбиття в наявних наукових розробках.

# НУБІП України

# НУБІП України

# НУБІП України

# НУБІП України

## ЗМІСТ

<b>РЕФЕРАТ</b>		<b>3</b>
----------------	--	----------

<b>ВСТУП</b>		<b>7</b>
--------------	--	----------

### **РОЗДІЛ 1 ГІДРОСИСТЕМИ МОБІЛЬНИХ МАШИН ЯК ОБ'ЄКТ**

<b>ДОСЛДЖЕННЯ</b>	<b>8</b>
-------------------	----------

1.1. Умови роботи та показники роботоздатності елементів гідросистем мобільних машин	8
--	---

1.2. Аналіз досліджень довговічності гідросистем мобільних машин	17
--	----

### **РОЗДІЛ 2 ОПТИМІЗАЦІЙНІ МАТЕМАТИЧНІ МОДЕЛІ**

<b>КОНСТРУКЦІЇ ГІДРОМАШИН</b>	<b>22</b>
-------------------------------	-----------

2.1. Модель конструкції для мінімізації втрат потужності аксіально-поршневої гідромашини	22
--	----

2.2. Синтез конструктивних параметрів гідронасоса з врахуванням вимог уніфікації	26
--	----

2.3. Розгляд взаємозв'язку між зазором в сполученні «втулка блоку-плунжер» і витоками робочої рідини	32
--	----

2.4. Дослідження впливу механічних втрат в плунжерній парі на роботоздатність гідроприводу	36
--	----

### **РОЗДІЛ 3 ПРОГРАМА І МЕТОДИКА ЕКСПЕРИМЕНТАЛЬНИХ**

<b>ДОСЛДЖЕНЬ</b>	<b>44</b>
------------------	-----------

3.1. Методика визначення характеру і динаміки зношення деталей плунжерної пари	44
--	----

3.2. Експериментальна установка і вимірювальна апаратура, які використовуються при виконанні лабораторних досліджень	46
--	----

3.3. Методика визначення впливу зношення кільцевої опори п'яти плунжера на температурний режим з'єднання «п'ята плунжера-похила шайба»	50
--	----

### **РОЗДІЛ 4 РЕЗУЛЬТАТИ ЕКСПЕРИМЕНТАЛЬНИХ**

<b>ДОСЛДЖЕНЬ ТА ЇХ АНАЛІЗ</b>	<b>53</b>
-------------------------------	-----------

4.1. Характер і величини зношення деталей плунжерної пари аксіально-поршневого гідронасоса	53
--	----

4.2. Об'ємні втрати робочої рідини в спряженні «втулка блоку-плунжер»	57
---	----

4.3. Вплив зношення кільцевої опори п'яти плунжера на температурний режим роботи качаючого вузла	60
--	----

<b>РОЗДІЛ 5 ТЕХНИКО-ЕКОНОМІЧНА ОЦІНКА РЕЗУЛЬТАТІВ ДОСЛІДЖЕНЬ .....</b>	<b>63</b>
<b>РОЗДІЛ 6 ОХОРОНА ПРАЦІ ТА БЕЗПЕКА В НАДВИЧАЙНИХ СИТУАЦІЯХ.....</b>	<b>70</b>
6.1. Охорона праці при обслуговуванні аксіально-поршневих насосів .....	70
6.2. Забезпечення безпеки при моделюванні процесів в гідравлічних парах, пов'язаних із застосуванням ГММ і спеціальних пристрій ..... 6.3. Розрахунок повітрообміну лабораторії з дослідження надійності аксіально-поршневих гідромашин.....	71 73
<b>ВИСНОВКИ.....</b>	<b>75</b>
<b>СПИСОК ВИКОРИСТАНИХ ДЖЕРЕЛ.....</b>	<b>79</b>
<b>ДОДАТКИ.....</b>	<b>84</b>

**НУБІП України**

**НУБІП України**

**НУБІП України**

**НУБІП України**

## ВСТУП

# НУВЧІЦІ УКРАЇНИ

Ефективність і якість виконання технологічного процесу мобільними машинами залежить від досконалості їх робочих органів і систем керування.

Конструктивно закладений рівень надійності і довговічності систем реалізується

при відповідності розрахункових параметрів експлуатаційним навантаженням.

Елементи сільськогосподарських, будівельних і дорожніх машин сприймають експлуатаційні навантаження змінного характеру, величина та інтенсивність

зміни яких залежать від великого числа як контролюваних, так і випадкових факторів.

Роботоздатність гідросистем сільськогосподарських, будівельних і дорожніх машин у значній мірі залежить від функціонування гідравлічних насосів. Надійність, довговічність ефективна робота цих агрегатів багато в чому

визначається широким набором різноманітних властивостей, явищ і процесів у трибологічних елементах, детальне вивчення яких стало можливим в наш час, з інтенсивним розвитком комп'ютерних і електронних технологій. Унарах тертя аксіально-поршневих насосів відбувається найбільш інтенсивне зношування, що

суттєво впливає на нарібіток самих насосів, а також на роботоздатність усього

гідроприводу мобільної машини. На процес зношування впливають конструктивні і динамічні параметри. На етапі проектування залучаються основи надійності і довговічності за рахунок вибору раціональних геометричних і силових параметрів. На деякі з них можна впливати на етапі проектування, а на

деякі на етапі експлуатації. Варіювати цими факторами, можна зменшувати або збільшувати інтенсивність зношування пар тертя аксіально-поршневих насосів і відповідно довговічність сільськогосподарських, будівельних і дорожніх машин.

Таким чином, підвищення довговічності аксіально-поршневих насосів сільськогосподарських, будівельних і дорожніх машин на основі моделювання процесів у плунжерних парах є актуальною темою дослідження.

## ДОСЛІДЖЕННЯ

### 1.1. Умови роботи та показники роботоздатності елементів гідросистем мобільних машин

Кількісну характеристику одного або декількох властивостей, стосовно до певних умов створення та експлуатації машин прийнято називати показниками якості машини. Одним з найважливіших узагальнюючих властивостей машин є надійність. Стосовно до сільськогосподарських, будівельних і дорожніх машин,

надійність може характеризуватися, як властивість зберігати протягом певного

часу в установлених межах значення всіх параметрів, які характеризують

здатність машини виконувати необхідні функції при заданих режимах і умовах

застосування, технічного обслуговування, зберігання й транспортування. Були

комплексною властивістю, надійність залежно від призначення мобільних

машин (будівельних, дорожніх, сільськогосподарських) і умов їх експлуатації

може включати безвідмовність, довговічність, ремонтопридатність

збереженість або певні комбінації цих властивостей. До будівельних і дорожніх

машин відносять автогрейдери, бульдозери, екскаватори, скрепери,

спеціалізовані автомобілі, до сільськогосподарських кормо-та зернозбиральні

комбайни та ін. Всіх конструкція, завдяки своїм перевагам, знайшов широке

застосування гідравлічний привід. Більш 90 % одноковшевих екскаваторів, що

випускаються в країні, має гідравлічний привід, а автогрейдерів - 100 %. Частка

засобів механізації будівництва з гідравлічним приводом перевищує 50 %. У

мобільних машинах сільськогосподарського призначення на 100% знайшов

застосування гідропривід керування робочим обладнанням, та практично у всіх

комбайнах як вітчизняного так і закордонного виробництва застосовується

гідравлічна трансмісія. Це підтверджує і аналіз

літературних джерел [1,2,3], який показав, що сучасні зернозбиральні

комбайни ДОН-1500/1500Б/1500М/2600/091, Єнісеї-1200/950/960/9,

кормозбиральні комбайни КСК-100, ДОН-750/680/680М, Полісся-250, косарки-

плющилки ДОН-800, КПС-5Р, корене- та гічкозбиральні РКМ-4, РКМ-6, КС-6Б,

автобетоновози СБ-92В/159Б/172-1/237, СМБ-060 а також закордонна техніка корпорацій «John Deere», «Claas», «Case», «Massey Ferguson» та інші, оснащені різними гідравличними системами до складу яких входить об'ємний гідростатичний привід трансмісії (ГСТ).

Розробником об'ємного гідроприводу (ГСТ) є компанія «Sauer», яка була утворена в 1946 році у ФРН. За ці роки компанія розробила і випустила аксиально-поршневі насоси і гідромотори 15, 20, 40, 42, 51, 70, 90 серій. У 1978 році на Кіровоградському заводі «Гідросила» (Україна, м. Кіровоград) був освоєний випуск об'ємних гідроприводів ГСТ-90 з робочим об'ємом  $89 \text{ см}^3$  [4].

ГСТ-90 є аналогом 20 серії аксиально-поршневих насосів і гідромоторів і користується найбільшою популярністю в нашій країні та країнах Близького зарубіжжя. Загальний вид гіdraulічного приводу трансмісії ГСТ-90 наведено на рис. 1.1.

Об'ємний гідропривід ГСТ-90 (рис. 1.1) включає в себе аксиально-плунжерний насос 3 з регульованим робочим об'ємом, нерегульований аксиально-плунжерний гідромотор 1, резервуар для робочої рідини, теплообмінник, фільтр тонкої очистки 4 з вакуумметром, трубопроводи та рукава [5].

Аксіально-поршневий насос перетворює механічну енергію двигуна в гіdraulічну, створюючи потік робочої рідини, аксиально-поршневий гідромотор,

навпаки, підігріває робочу рідину в механічну.

Аксіально-поршневі гідромашини (насос та гідромотор) з'єднані між собою двома гідролініями. По одній з них потік робочої рідини подається

насосом до гідромотору під тиском до  $P_{вис.} = 34,3 \text{ МПа}$ , по другій – повертається з гідромотору у насос під тиском  $P_{низ.} = 1,17 \text{ МПа}$  [5].

Таким чином в системі «насос-гідромотор» гідроприводу ГСТ-90 відбувається замкнута циркуляція робочої рідини. Робоча рідина, що просочилася через спряження деталей гідробагнетатів, попадає до їхньої внутрішньої порожнини, звідти по системі дренажних трубопроводів через теплообмінник стикається в резервуар

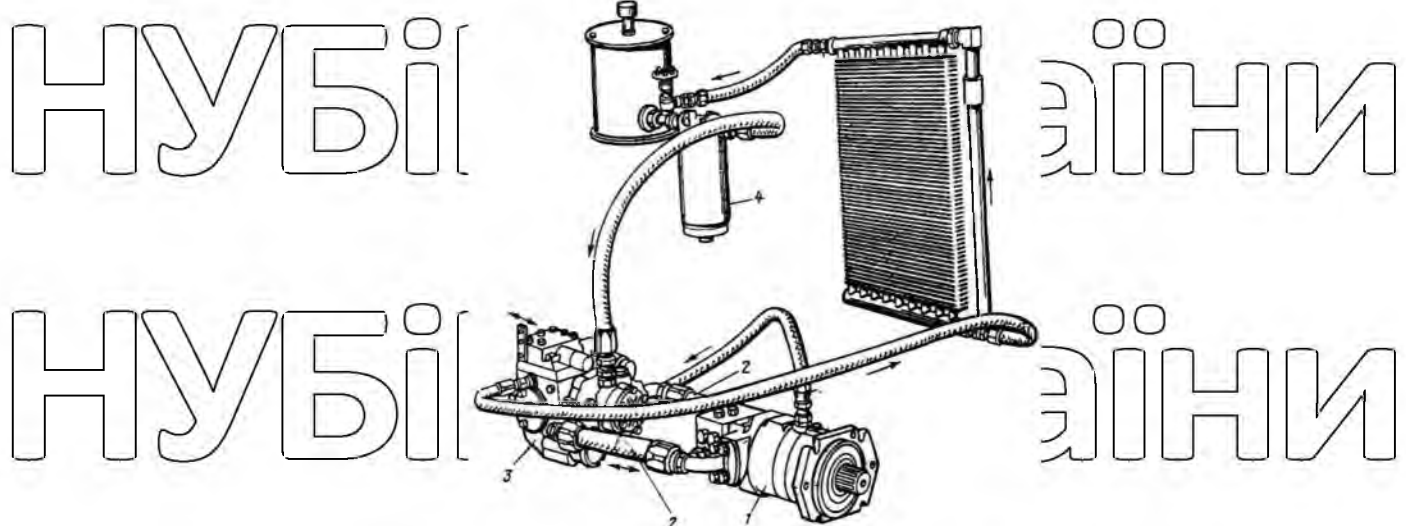


Рис 11. Об'ємний гідропривід ГСТ-90:

1 – аксіально-плунжерний нерегульований гідромотор; 2 – рукав високого тиску; 3 – аксіально-плунжерний регульований насос; 4 – масляний фільтр [5]

До конструктивних особливостей аксіально-поршневих гідромашин можна віднести наявність у основного насоса системи живлення, системи керування

робочим об'ємом (гідророзподільник керування та сервопоршня з люлькою) та гіdraulічного мотора клапанної коробки [1,6].

Основні параметри об'ємного гідроприводу ГСТ-90 наведені в таблиці 1.1.

Таблиця 1.1.

## Основні параметри об'ємного гідроприводу ГСТ-90

№ п/п	Параметри	Основні робочі органи		
		Аксіально-поршневий насос	Аксіально-поршневий гідромотор	
1	2	3	4	
1	Робочий об'єм, см <sup>3</sup>	89,0	89,0	
2	Номінальна подача, л/хв., не менше	119,87	-	
3	Номінальний розкід, л/хв., не менше		119,87	
4	Максимальний тиск дренажу, МПа	0,35	0,35	
5	Коефіцієнт подачі, не менше	0,949	-	
6	Гідромеханічний ККД	-	0,92	
7	Коефіцієнт корисної дії, не менше	0,88	0,89	
8	Потужність, кВт (к.с.), не менше	53,86 (73,25)		
9	Температура 0 С в дренажі гідромотора	80	80,0	
10	Номінальна тонкість фільтрації, мкм	10,0	10,0	
11	Маса без робочної рідини, кг	78,0	48,0	

За даними заводу-виробника відкритого акціонерного товариства (ВАТ) «Гідросила» критерієм граничного стану об'ємного гідроприводу ГСТ-90 є зниження об'ємного ККД насоса на номінальних режимах не більше ніж на 20% [7,8].

Гамма-процентний ресурс ( $\gamma = 90\%$ ) ГСТ-90 до першого капітального ремонту складає 4000 мото-год, а гамма-відсоткове напрацювання на відмову ( $\gamma = 95\%$ ) рівне 1800 м-год [7,8].

Якщо припустити, що напрацювання ГСТ-90 до ресурсної відмови розподілено за законом Вейбула із коефіцієнтом варіації  $v = 0,365$ , то середній ресурс аксіальних-поршневих гідроагрегатів рівний [9]:

$$\bar{t} = \frac{W}{W_0,9} = \frac{4000}{0,5289} = 7563 \text{ мото-год}$$
(1.1.)

що наближається до повного ресурсу комбайна.

За даними авторів в роботах [11,12] діапазон ресурсних відмов ГСТ-90 комбайнів, обладнаних ГСТ-90, знаходить в діапазоні 178...1023 м-год, при середньому значенні  $\bar{t} = 616,3 \text{ м-год}$ , і середньоквадратичному відхиленні  $\sigma = 243 \text{ м-год}$ .

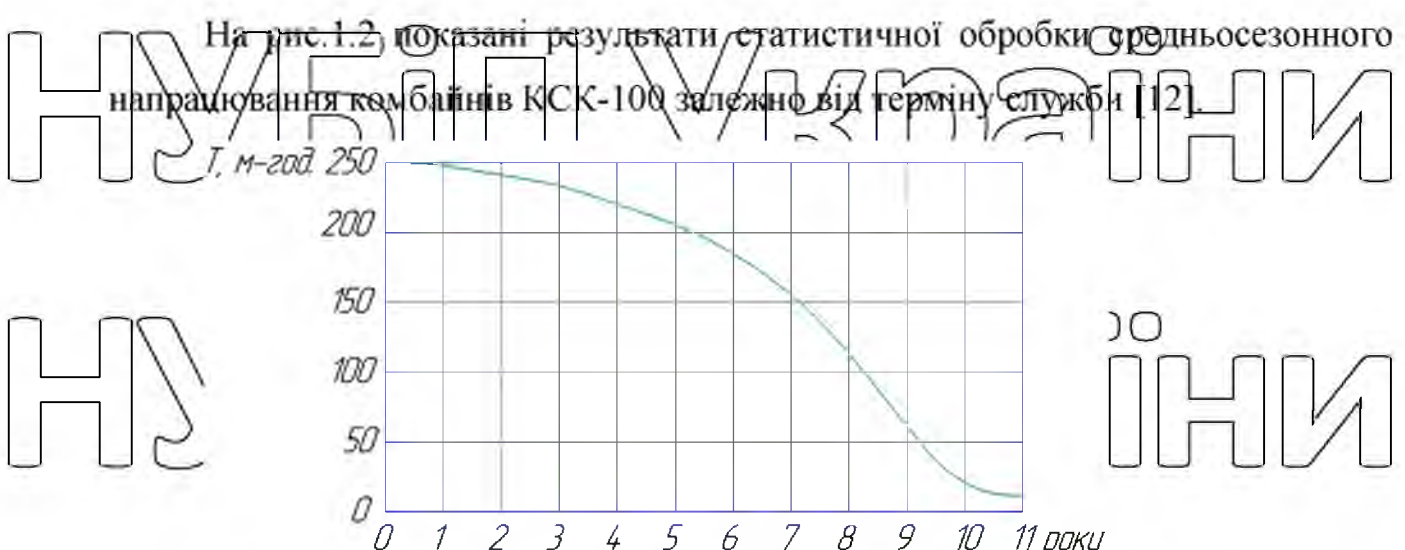


Рис. 1.2 – Крива зниження наробітку до відказу комбайну КСК-100 від строку служби

Із рис. 1.2 виходить, що сезонне напрацювання комбайна знаходить в

діапазоні  $T_c = 47 \dots 253 \text{ м} - \text{год}$ , при середньому сезонному напрацюванні  $T_{sep} = 170,6 \text{ м} - \text{год}$ . Таким чином, відмови другої і третьої груп складності виникають через 3...4 роки експлуатації машини.

Детальний аналіз показників надійності аксіально-поршневих гідромашин показує, що значна доля (44%) всіх несправностей приходить на кachaючи вузли насосу та мотору. Судячи по виду та характеру зношення деталей kachaючого вузла, можна сказати, що вони обумовлені в основному гідроабразивним та кавітаційним зношенням, які викликані вмістом механічних частинок та розчиненого повітря в робочій рідині [13,14].

Під впливом забруднень, високої температури та при наявності у робочій рідині повітря, змінюється кислотне число, і руйнуються присадки в рідині. Запиленість повітря при роботі мобільних машин сільськогосподарського призначення і безпосередньо у зоні елементів гідроприводу настільки висока, що вже через 50...60 годин роботи машини забруднення робочої рідини перевищує 10-й клас, а через 200...300 годин наробітку забруднення в 8...15 раз перевищує граничне значення [13,14].

Атмосферний пил попадає в гідросистему через ущільнення гідроциліндрів, повіtroочисні пристрої (фільтр сапуна) і при доливанні робочої рідини. При введенні в експлуатацію машин відбувається принрацювання всіх пар тертя в гідравлічних агрегатах, що у період 50..60 годин роботи обумовлює забруднення робочої рідини залишками припрацювання [13,14].

Концентрація забруднень робочої рідини, яка використовується в технологічному процесі ремонту гідроприводу будівельних і дорожніх машин перевищує припустиму у ваннах в 20...27 раз, у стендах в 6...16 раз, у рідині, що заправляється в гідропривід, в 3...10 раз [13,14].

В загальному балансі причин забруднень ступінь впливу дозаправлень, зміни робочої рідини, дихання сапуна і умов виробництва становить, відповідно: 50, 37, 10 і 3 %. У деяких випадках частка виробничих забруднень становить 60 % [15].

Механічні забруднення, що потрапили в робочу рідину, перебувають у зваженому стані і рухаються разом з нею по гідравлічному потоку. Потрапляючи в зазор між поверхнями парами тертя, частки забруднень, можуть приводити до підвищеного зношування деталей спряжень, збільшення зусилля переміщення деталей, і їх заклинюванню, прискоренню процесу окислення робочої рідини і погіршенню її експлуатаційних властивостей [16].

Під робочою камерою прийнято розуміти ємність, обмежену робочими поверхнями деталей гідромашини, що періодично змінює свій об'єм і поперемінно сполучається з каналами, через які підводять і відводять робочу рідину. Насос призначений для перетворення механічної енергії приводного двигуна в енергію потоку робочої рідини.

В об'ємних гідроприводах сільськогосподарських, будівельних і дорожніх машинах широко застосовують аксіально-поршневі насоси, призначені для використання, як у режимі насоса, так і в режимі гідромотора.

По відношенню куту вала ротора до робочих органів розрізняють радіальні і аксіальні роторно-поршневі насоси. По механізму передачі руху, радіальні насоси класифікують на роторно-обертальні і роторно-поступальні, а у свою чергу аксіально-поршневі насоси на насоси з похилим блоком і з похилим диском (або оборою) [17,18].

У аксіально-поршневого насоса рух вихідної ланки здійснюється завдяки наявності кута між віссю блоку циліндрів і віссю вихідної ланки. У аксіально-поршневому мотора рух вихідної ланки здійснюється завдяки зв'язку або контакту поршнів із плоским торцем диска, який похило розміщується до осі блоку циліндрів.

Для оцінки швидкохідності гідромоторів з врахуванням кругового моменту на валу використовують залежність [17,18]:

$$n_s = 2\pi \cdot M / (\Delta P \cdot n), \quad (1.2.)$$

де  $M$  - момент на валу гідромотора;

$\Delta P$  - перепад тиску на вході в гідромотор і виході з нього;

$n$  - частота обертання вала аксіально-поршневого гідромотора.

Гідромотори, призначені для створення великого крутного моменту  $M$  при малій кутовій швидкості  $\omega$ , прийнято умовно називати високо моментними. Припрацювання деталей першочергово здійснюється роботою на холостому режимі з поступовим навантаженням з метою запобігання пошкодження поверхонь тертя деталей на початку їх роботи. Одним з основних показників припрацювання є перехід характеристик якості поверхні від вихідного стану після остаточної технологічної обробки до експлуатаційної шорсткості.

Під припрацюванням [19,20] розуміється процес зміни геометрії поверхні тертя і фізико-механічних властивостей поверхневих шарів матеріалу в початковий період тертя, що звичайно проявляється при постійних зовнішніх умовах у зменшенні роботи тертя, температури і інтенсивності зношування.

Перехід від вихідного стану поверхонь тертя до встановленого супроводжується складними незворотними явищами, які протікають у тонкому поверхневому шарі. Процес механічного зміщення матеріальної поверхні, зокрема, зношування, приводить до такого її фізичного стану і такій структурі, при яких поверхневий шар має мінімальну потенційну енергію, тобто представляє стійку систему, яка допускає в даних умовах мінімальну дисипацію енергії. Досвід підтверджує це положення, тому що при зношуванні відтворюється постійна шорсткість у всьому наступному процесі, крім початкового періоду. Ця відтворена шорсткість називається «фіноважного». При терті, в початковий період припрацювання, бере участь дуже невелика кількість контакуючих між собою виступів, в наслідок чого дійсна напруга на контакуючих поверхнях, яка утворилася в результаті контакту, може бути значною, тому відбувається інтенсивне руйнування нерівностей, які виникли в процесі механічної обробки деталі. Їх дроблення і пластичне деформування супроводжується наклепом тонкого поверхневого шару [20].

У результаті припрацювання відбувається згладжування найбільших нерівностей, які виступають, часткове або повне знищення первісних і встановлення нових, відмінних від первісних за формою й розмірам. Чо

закінченю припрацювання встановлюється шорсткість, яка не залежить від величини і характеру первісної шорсткості, отриманої при механічній обробці, а залежної від умови зношування (матеріалу пари тертя, тиску, температури на поверхні тертя, умов машинення, наявності забруднень у мастильній рідині і т.д.).

Ця шорсткість є оптимальною для даних умов тертя і забезпечує мінімальне зношування. Вона може бути як більше, так і менше вихідної. У період стаціонарного зношування, яке протікає після припрацювання, ця шорсткість відтворюється на всьому наступному процесі нормальної роботи пари тертя.

У випадку стаціонарного процесу зношування для відтвореної шорсткості можна вживати термін «рівноважна шорсткість», під якою слід розуміти шорсткість, яка встановлюється на фрикційному контакті при незмінному режимі тертя після завершення процесу приробітку.

Згодом процес зношування стабілізується, коли розмір зношування досягає величини, сумірної з розміром найбільш великих часток, які присутні у рідині. Механічний вплив абразивних часток на матеріал, що зношується, залежить від їхньої форми, ступені закріпленості і співвідношення механічних властивостей абразивної частки та зношуваної поверхні, а також діючих навантажень.

Гідропривід є складовою частиною мобільної машини тому від його надійності залежить ефективність її роботи, своєчасне виконання заданого обсягу роботи та витрати, обумовлені простоюванням та ремонтами. Надійність гідроприводу залежить на етапі проектування, підтримується на заданому рівні під час експлуатації машин. Реалізується надійність гідроприводу при експлуатації, тому що відмови і несправності проявляються тільки в процесі використання машини за призначенням. Крім параметрів і умов, закладених у процесі проектування і виробництва, на показники надійності впливають методи і умови експлуатації, прийнята система технічного обслуговування і ремонтів, режими роботи і кваліфікація обслуговуючого персоналу.

Розв'язку проблеми підвищення надійності гідроприводу присвячені дослідження Т. М. Башты, В. І. Барышева, П. Н. Белянина, У. А. Васильченко, К. Г. Гаркави, Г. А. Нікітіна, В. А. Зорин, В. К. Руднєва, К. В. Руднєва, К. В.

Рибакова, Е. С. Венцеля та ін. Завдяки їхнім дослідженням, показано, що рівень надійності гідроприводу визначається високою концентрацією механічних

домішок у робочій рідині.

Розроблені наукові й практичні рекомендації із забезпечення промислової чистоти гідроприводу, використання яких забезпечує істотний ефект. Так само

дослідники, ґрунтуючись на положеннях теорії тертя і зношування,

розробленими вченими, (І. В. Крагельський, М. І. Добычин, В. С. Камбатов, У. А.

Икрамов та ін.) застосовували спроби побудувати аналітичні методи визначення

зношування гідроагрегатів. Однак зроблені при цьому припущення роблять щ

методи малоекективними.

У наш час одержав розвиток напрямок підвищення надійності

гідроприводу за рахунок поліпшення контролю чистоти вузлів, агрегатів і систем

машин різного призначення, яке використовується при експлуатації мобільних

машин і має високу ефективність.

Дослідження фірми Cincinnati (США) показують, що достатньо збільшити

довговічність гідроагрегатів на 5,5 %, що б відшкодувати витрати на оснащення

гідросистеми фільтрами більш тонкого очищення, що дозволить продовжити

ресурс деталей на 46 %, при цьому витрати окупуються за два тижні.

ВНІІСтройормашем були проведені випробування насосів 223,25, які

встановлюються на екскаватори ЭО-4121, при різному фіксованому складі

забруднень у робочій рідині. Випробування показали, що зниження об'ємного

ККД насоса, який працює при ступені забруднення робочої рідини, яка

відповідає 17-му класу, досягається приблизно через 1000 годин, а на рідині 14-

го класу - через 3350 годин [21].

ВНІІГідроприводом [22] вивчалася залежність зношування шестеренних

насосів типу ГП-2 від концентрації механічних домішок методом прискорених

випробувань. Насоси випробовували в номінальному режимі на робочій рідині,

очищеної фільтром 8...12 мкм. Потім цю рідину забруднювали шліфувальним порошком. При забрудненні робочої рідини шліфувальним порошком М-20 з концентрацією по масі 0,005 % об'ємний ККД знижувався на 17 % за 138 годин.

Зниження об'ємного ККД на таку величину на очищенному маслі відбувалося за 1200 годин. При забрудненні робочої рідини шліфувальним порошком М-4 з концентрацією по масі 0,025 % через 5,5 годин об'ємний ККД насоса знижувався практично до нуля.

Японські фахівці вважають [23], що інтенсивність зношування різко зростає при збільшенні концентрації забруднень до 0,15...0,2 %.

Підвищення робочого тиску викликає негативний вплив забруднень на надійність гідроагрегатів. Зв'язок між підвищенням робочого тиску в системі і допустимим забрудненням робочої рідини може бути представлений у вигляді [17]:

$$\frac{P_1}{P_2} = e^{0,0037 \ln N_2 / N_1}, \quad (1.3.)$$

де  $P_1$  і  $P_2$  - відповідно робочий тиск у системі до і після забруднення;  $N_1$  і  $N_2$  - відповідно кількість часток забруднень даного розміру в системі до і після забруднення.

Вплив забруднення робочої рідини на надійність гідроприводу будівельних і дорожніх машин вивчався в ХАДІ [24]. Обстеження гідрофікованих екскаваторів, бульдозерів і автокранів, які перебували в умовах реальної експлуатації, показало, що чистота робочих рідин на екскаваторах і бульдозерах перебуває на рівні 16...17 класів, а автокранів - на рівні 15...16 класів. При заправленні машин робочою рідиною із чистотою IS класу граничний наробіток до встановлених значень чистоти робочої рідини склав відповідно 240 і 480 годин. Виявлено, що для екскаваторів небезпечними є частки розміром 5...25 мкм, а для бульдозерів і автокранів - 10...40 мкм.

Вивчення розподілу часток за розмірами дозволило встановити, що доля небезпечних частиць, у загальній їхній кількості досягає для екскаваторів 95 %, а для автокранів і бульдозерів - 30...33 %.

При підвищенні температури робочої рідини понад 80 °С і забрудненні її на рівні 75-го класу має місце заклиновання іллюнжера гідророзподільника, що приводить до нестійкого режиму роботи гідросистеми, і насос працює з підвищеною шумовою характеристикою. Стендові випробування гідронасосів 210.25 і 223.25 показали, що очищення робочої рідини від механічних домішок дозволяє підвищити наробіток насосів для екскаваторів у середньому в 2,8 рази, для автокранів в 1,7 рази. Очищення одночасно від механічних домішок і води збільшує термін служби насосів екскаваторів в 3,9 рази, автокранів - в 1,9 рази [15,21].

Існують три способи очищення робочої рідини, це фізичний, фізико-хімічний і хімічний. Фізичні методи дозволяють видаляти з масел тверді частки забруднень, мікрокраплини води (частково - смолистій коксуvalльні речовини), а за допомогою випарювання легкокипячі домішки. Масла обробляються в силовому полі з використанням гравітаційних, відцентрових і рідше електричних, магнітних і вібраційних сил, а також застосовується фільтрування, водне промивання, випарювання і вакуумна дистилляція. До фізичних методів очищення відпрацьованих масел відносяться також різні масло-і теплообмінні процеси, які застосовуються для видалення з масла продуктів окиснення вуглеводнів, води і легкокипячих фракцій [25,26].

Фізико-хімічні методи знайшли широке застосування при очищенні масел, до них відноситься коагуляція, адсорбція і селективне розчинення забруднень, які втримуються в маслі, різновидом адсорбційного очищення є іонно-обмінне очищення [27].

Хімічні методи очищення засновані на взаємодії речовин, які забруднюють відпрацьовані масла, і реагентів, які вводяться в ці масла. При цьому в результаті хімічних реакцій утворюються з'єднання, які легко видаляються з масла. До хімічних методів очищення відносяться: кислотне і лужне очищення; окиснення киснем; гідрогензація, а також осушка і очищення від забруднень за допомогою окислів, карбідів і гідридів металів [27]. Пропонується підвищення ефективності очищення масла і надійності захисту пар тертя від забруднюючих домішок,

щляхом удосконалювання конструкцій фільтрів, використання нових фільтрувальних матеріалів. У роботі доведено, що фракційний коефіцієнт відсікання часток забруднюючих домішок центрифуги практично не залежить від в'язкості й витрати масла.

Проведений аналіз літературних джерел показує, що на довговічність гідроприводу сільськогосподарських, будівельних і дорожніх машин істотний вплив виявляють як конструктивні параметри, що закладаються на етапі проектування, так і властивості робочої рідини, які підтримуються на етапі експлуатації.

У вузлах тертя широко розповсюджений режим змішаного (граничного) мащення: одні ділянки поверхні контактуючих тіл розділені гідродинамічним шаром, а інші - граничним. Для даного виду мащення велике значення мають як об'ємна характеристика мастильного матеріалу - його в'язкість, так і здатність мастильного матеріалу створювати на поверхнях тертя міцні граничні шари. Чим вище частка гідродинамічного режиму мащення, тим нижче коефіцієнт тертя при змішаному мащенні [20].

Область реалізації гідродинамічного, змішаного і граничного мащення у вузлах тертя ковзання визначають по діаграмі Герси - Штрибека (рис. 1.2), який представляє собою залежність коефіцієнта тертя вузлі тертя, який змащується від безрозмірного критерію, який називається числом Герси, або критерій Зоммерфельда [20]:

$$S_o = \mu \cdot V / P_{noz} . \quad (1.4.)$$

де  $\mu$  - динамічна в'язкість;  
 $V$  - швидкість відносного переміщення пар тертя;  
 $P_{noz}$  - погонне навантаження на вузол тертя (навантаження, вінесене до довжини спряження в напрямку, перпендикулярному напрямку відносного переміщення).

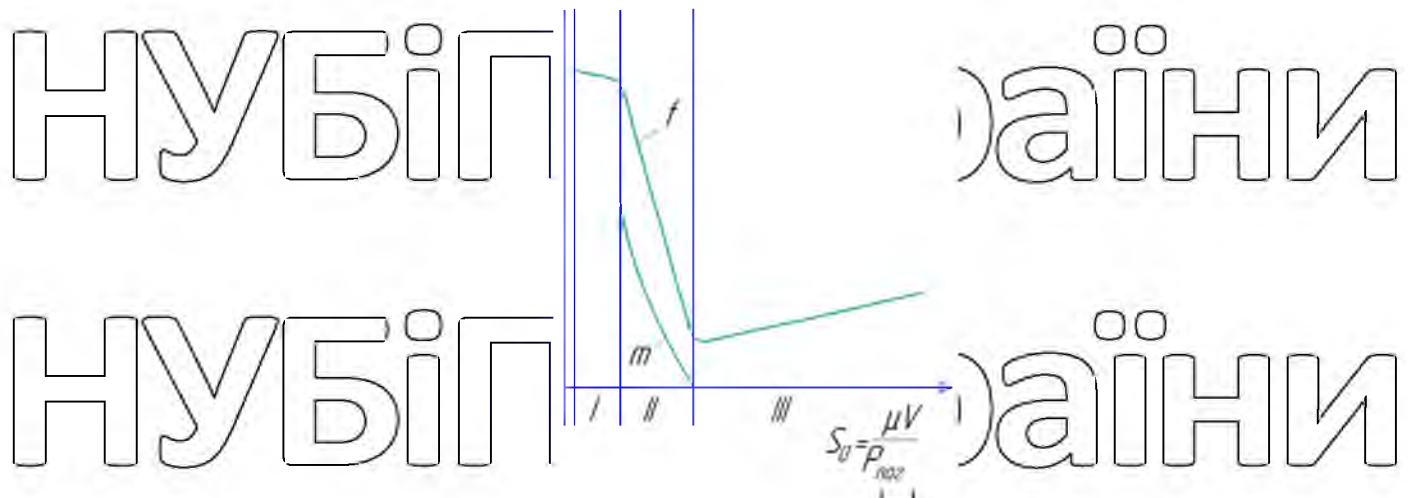


Рис. 1.2. Діаграма Герси - Штрибека: залежність коефіцієнта тертя  $f$  і зношування  $m$

від безрозмірного параметра (числа Герси): I-III- зони машинення: I - гранична; II - змішана; III - гідродинамічна.

У лівій частині діаграми локалізована зона реалізації граничного режиму машинення, як найбільш твердого. Він реалізується при високих питомих

навантаженнях в парах тертя, низьких швидкостях відносного переміщення трибологічних пар, підвищених температурах (які викликають зниження динамічної в'язкості) і характеризується не тільки підвищеним коефіцієнтом тертя, але і постійним зношуванням деталей пари тертя. Серед трибологічних пар аксіально-поршневого насоса найбільшому зношуванню піддається пара

тертя «плунжер-втулка», яка працює при змішаному режимі машинення.

Загальний вигляд однієї із конструктивних різновидностей пари тертя «плунжер-втулка боку» качаючого вузла аксіально-поршневої гідромашини представлено на рис.1.3.

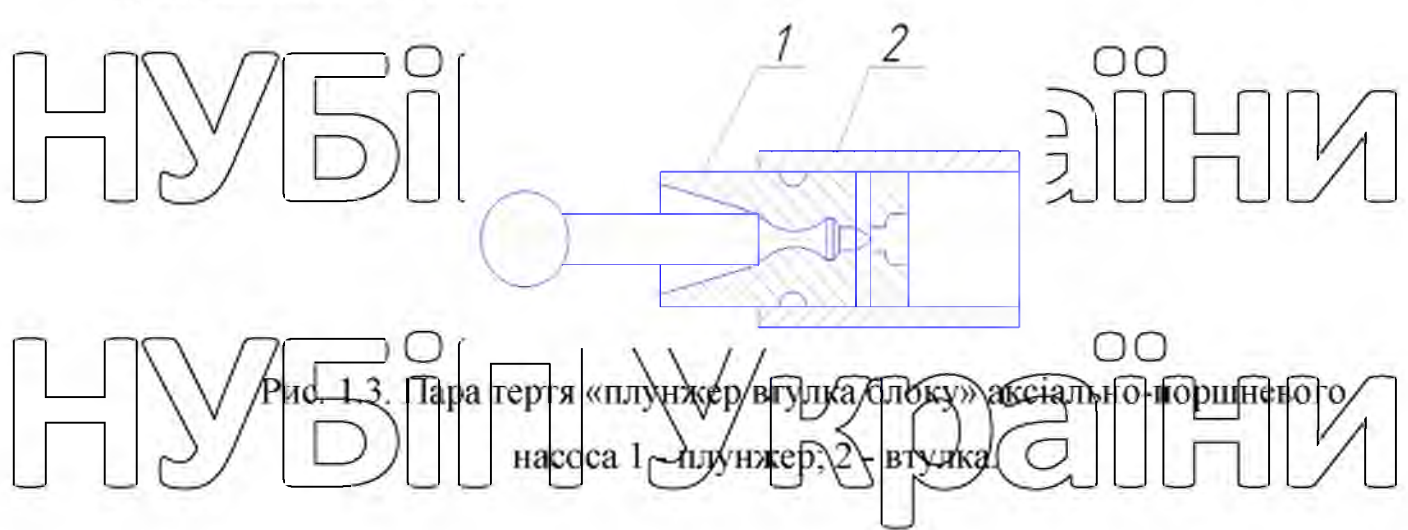


Рис. 1.3. Пара тертя «плунжер-втулка боку» аксіально-поршневого насоса 1 - плунжер, 2 - втулка

Дана конструкція плунжерної пари знайшла широке застосування в аксіально-поршневих гідромашинах з похилим корпусом для забезпечення збільшення робочого ходу плунжера, а звідси і робочого обсяму гідромашини.

Точка переходу між змішаним і гідродинамічним мащенням характеризується найменшим значенням коефіцієнта тертя і зменшенням зношування до нуля. В зв'язку з тим, що в парі тертя «плунжер-втулка» аксіально-поршневого насоса, неможливо добитися винятково гідродинамічного режиму мащення, метою забезпечення найменшого зношування в трибологічній парі актуальним завданням являється зменшення в ній коефіцієнта тертя.

При виготовленні пари «плунжер-втулка» аксіально-поршневого насоса використовують Сталь 38Х2МЮА і Бр 012, технологічні й конструктивні параметри цих матеріалів наведено в таблиці 12.

Таблиця 12.

Конструктивні й технологічні параметри пара тертя качаючих вузлів гідромашин 210-25 і 223-25

№ п/п	Найменування показника	Найменування деталі	Втулка (блок циліндрів)
1	Матеріал	Сталь 38Х2МЮА	Бр 012
2	Твердість поверхні тертя	HB232	HB <sub>10<sup>95</sup></sub>
3	Діаметр, мм	25 <sup>-0,021</sup>	25 <sup>+0,015</sup>
4	Довжина, мм	30	100
5	Хід плунжера, мм	70	-
6	Шорсткість поверхні, середньоарифметичне відхилення профілю Ra, мкм	2,5	0,63
7	Кут нахилу бічних сторін шорсткостей, $\alpha^0$	7°50'	2°15'
	Абразивне зношування	являється переважним у розглянутій	

трибологічної парі. Під терміном абразивне зношування розуміють руйнування поверхонь тертя під впливом твердих часток, які присутніх у зоні тертя.

# НУБІЙ України

## 2.1. Модель конструкції для мінімізації втрат потужності аксіально-поршневої гідромашини

Основним джерелом втрат потужності в аксіально-поршневому гідронасосі являється технічний стан спряжень деталей кachaючого вузла.

Розглянемо побудову математичної моделі кachaючого вузда аксіально-поршневого насоса з горцевим розподіленням потоку робочої рідини

В якості критерію оптимізації приймемо сумарні (об'ємні та механічні)

втрати потужності в кachaючому вузлі насоса [29]. Для отримання виразів

цільової функції через параметри конструкції необхідно визначити втрати потужності в основних спряженнях кachaючого вузла насоса: «розподільник-пристане дно», «втулка блоку-плунжер», «п'ята плунжера-похила шайба (опора

люльки)», «сферична головка поршня-підп'ятник». Втрати потужності в

підшипнику, які утримують ротор насоса, не враховувалися, так як необхідні

параметри підшипника обумовлені, в першу чергу. Заданими

вантажопідйомністю, довговічністю, а також габаритними розмірами.

Конструктивна схема кachaючого вузла насоса показана на рис.2.1. Вибрані

наступні невідомі параметри, які підпадають під оптимізацію (рис.2.2):  $x_1$  -

довжина загортання поршня (на рисунку не показана);  $x_2$  – діаметр блока ротора;

$x_3$  – довжина блока ротора;

$x_4$  – великий діаметр конічної поверхні кільця ротора;  $x_5$  – діаметр ротора;  $x_6$  –

діаметр поршня;  $x_7$  – діаметр отвору в роторі для валу;  $x_8$  – діаметр стакана;  $x_9$  –

висота конічної поверхні кільця ротора;  $x_{10}$  – ширина вікна поршневої камери

ротора;  $x_{11}$  – довжина циліндричної частини поршня;  $x_{12}$  – довжина поршня;

$x_{13}$  – діаметр башмака підп'ятника;  $x_{14}$  – діаметр підп'ятника;  $x_{15}$  – відносний

розмір камери підп'ятника;  $x_{16}$  – діаметр головки поршня;  $x_{17}$  – висота

підп'ятника;  $x_{18}$  – висота башмака підп'ятника;  $x_{19}$  – діаметр розподільчого

диску;  $x_{20}$  – товщина розподільчого диску;  $x_{21}$  – радіус внутрішнього

уцільнюючого пояска;  $x_{22}$  – радіус зовнішнього уцільнюючого пояска;  $x_{23}$  – діаметр упорного диску;  $x_{24}$  – товщина упорного диску;  $x_{25}$  – кутовий розмір вікна поршневої камери ротора;  $x_{26}$  – кутовий розмір вікна нагнітання розподільника.

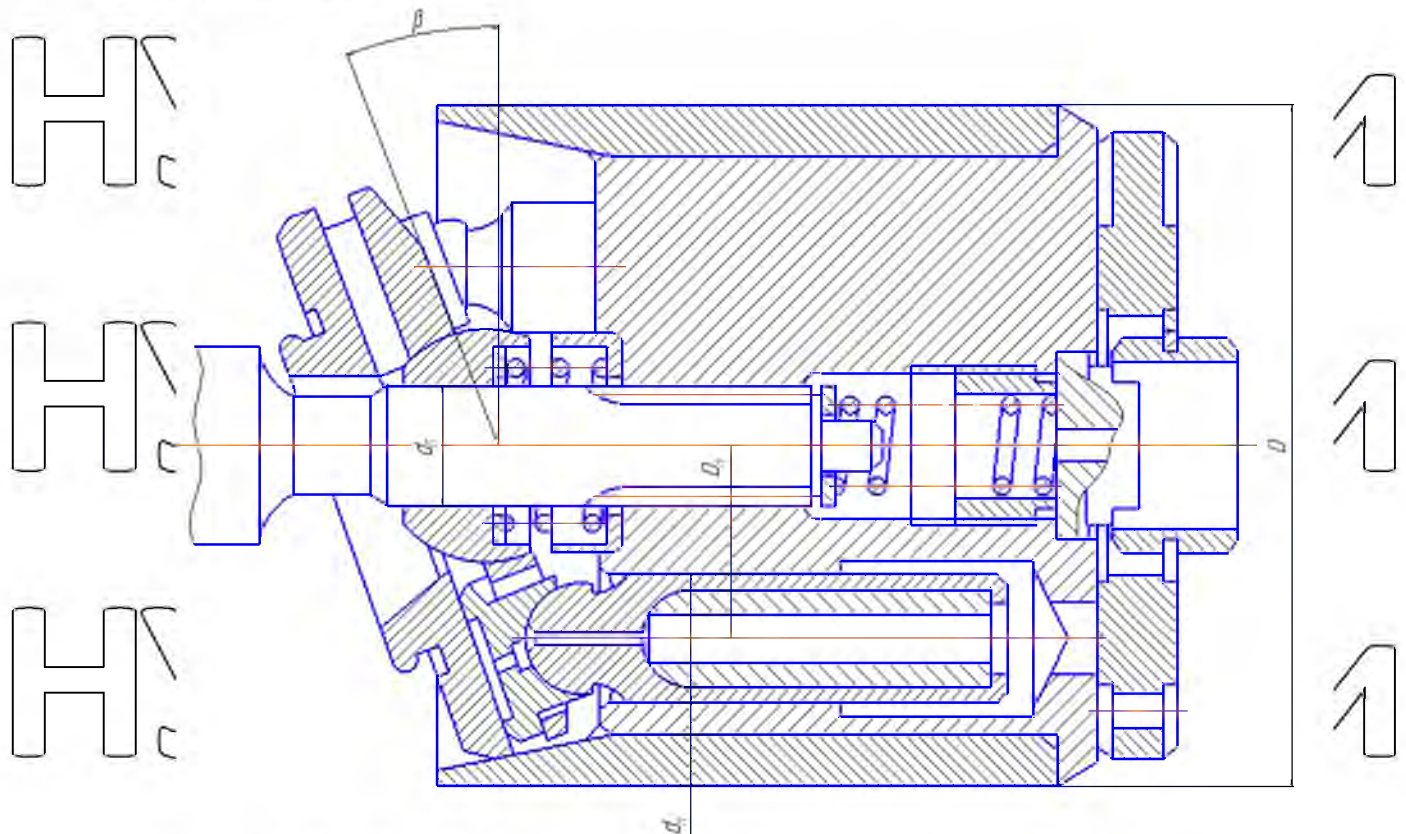


Рис. 2.1 Конструкція аксіально-поршневого гідронасоса

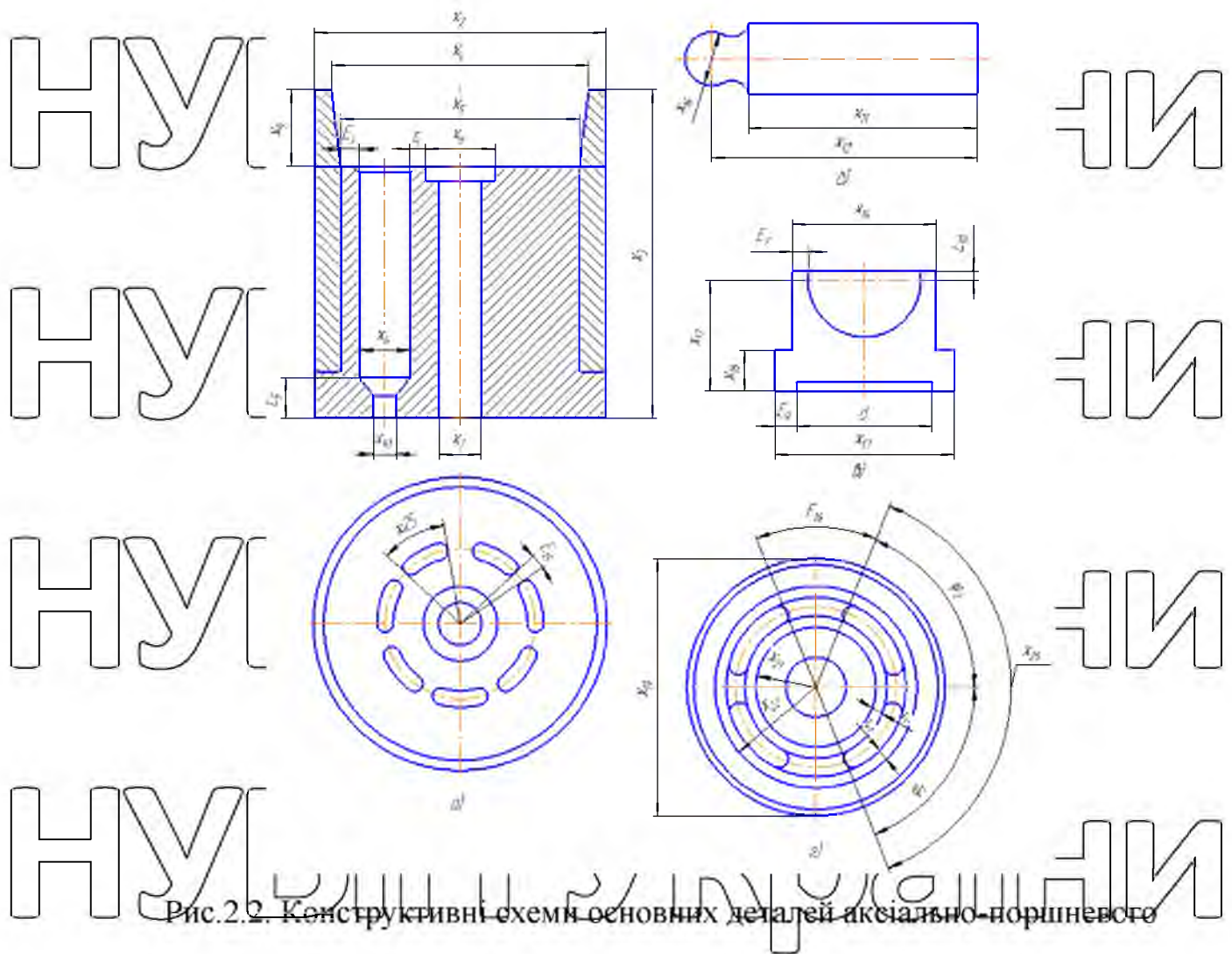


Рис.2.2. Конструктивні схеми основних деталей аксіально-поршневого гідронасоса: а – блок ротора; б – поршень; в – підп’ятник; в – диск розподільника.

Віднесемо всі лінійні розміри до характерного розміру  $L_0 = \sqrt{q_T}$ , де  $q_T$  – робочий об’єм насоса, а кутові виражені в радианах.

Цільова функція, яка виражає сумарні відносні втрати потужності в кachaючому вузлі насоса має вид [29]:

$$\Phi = \sum_{i=1}^6 \Phi_i,$$

де  $\Phi_1$  – відносні механічні втрати потужності в підп’ятниках плунжера;  $\Phi_2$  –

відносні обємні втрати в підп’ятниках;  $\Phi_3$  – відносні механічні втрати

потужності в парі «поршень - втулка»;  $\Phi_4$  – відносні обємні втрати в парі

«поршень - втулка»;  $\Phi_5$  – відносні обємні втрати в розподільніку;  $\Phi_6$  – відносні

механічні втрати потужності в розподільному.

Розглянемо більш детально параметри, які стосуються деталей пари «поршень-втулка блоку», так як в роботі розглядається вплив структурних параметрів даної пари на роботоздатність аксіально-поршневого гідронасоса.

Із конструкції аксіально-поршневого насоса і безпосередньо із його роботи не важко бачити, що технічний стан, а також геометричні розміри деталей пари «поршень-втулка блоку» обумовлюють як об'ємні втрати робочої рідини параметр  $\Phi_3$ , так і механічні параметр  $\Phi_4$ .

В роботі [29], автори усереднюють параметри  $\Phi_3$  і  $\Phi_4$ , призначивши при цьому середній зазор  $t_r$  в масляному клині пари «поршень-втулка» рівним зазору у цьому спряженні, встановленому технологічними вимогами.

В свою чергу параметри функцій  $\Phi_3$  і  $\Phi_4$  можна отримати через

безрозмірні параметри, які визначаються, в вигляді (всі лінійні розміри віднесені

до  $L_0$ ) [29]:

$$\Phi_3 = \frac{2 \cdot \pi \cdot n \cdot \mu_1 \cdot \mu_{cp} \cdot L_0}{15 p_0 \cdot z \cdot t_r} \cdot \left( \frac{x_1}{x_6^3} + \frac{2}{\pi \cdot z \cdot x_6^5} \right) + \frac{2 \cdot t_r}{x_6 \cdot L_0}, \quad (2.2.)$$

$$\Phi_4 = \frac{150 \cdot p_0 \cdot x_6 \cdot t_r^3 \cdot z}{L_0^3 \cdot \mu_1 \cdot \mu_{cp} \cdot n^2 \cdot x_1^4 \cdot \pi^2 \cdot z \cdot x_6^2}, \quad (2.3.)$$

де  $n$  - частота обертання вала,  $x_6$  -

$\mu_1$  - в'язкість мастила на вході масляного клина;

$\mu_{cp}$  - середня в'язкість мастила в парі тертя, ( $\overline{\mu_{cp}} = \mu_{cp}/\mu_1$ );

$z$  - число поршнів, розміщених в роторі;

$t_r$  - середній зазор в спряженні «поршень-втулка», мкм.,

$p_0$  - робочий тиск насоса, МПа;

$x_1$  - довжина загортання поршня, мм.;

$x_6$  - діаметр поршня мм.;

Із виразу (2.2) випливає, що відносні механічні втрати потужності в парі

«поршень - втулка» прямо пропорційно залежать від таких параметрів як: робочий об'єм насоса, частота обертання валу, зазору в спряженні, а також довжини плунжера (та його частини, що постійно знаходиться в контакті з втулкою блоку) при поступово-зворотному русі та технічного стану робочої рідини (в'язкість).

До основних параметрів, який має обернено-пропорційний вплив слід віднести діаметр поршня, так як з його збільшенням зменшується питомі навантаження в місцях контакту поршня з втулкою, що і обумовлює зменшення механічних втрат. Але при цьому необхідно врахувати, що геометричні розміри поршня, обумовлюються в цілому геометричними розмірами гідромашини за конструктивними особливостями.

Аналіз виразу (2.3) показує, що суттєвий вплив на об'ємні втрати робочої рідини в гідромашині мають такі структурні параметри, як зазор в спряженні «поршень-втулка блоку», діаметр поршня та його робоча довжина, яка знаходиться постійно в втулці, а також конструктивно-функціональні параметри до яких слід віднести робочий об'єм гідронасоса, тиск робочої рідини в гідронасосі, в'язкість мастила та інші.

Таким чином із вище наведених виразів випливає, що з врахуванням

параметрів  $x_1, \dots, x_{26}$ , обмежених обlastю допустимих значень  $\bar{x}_i$ , математичний образ аксіально-поршневого гідронасоса можна відтворити, забезпечуючи можливість синтезу його оптимальних конструктивних параметрів реальній гідромашині, яка відповідає всім пред'явленим до неї техніко-економічним вимогам.

## 2.2 Синтез конструктивних параметрів гідронасоса з врахуванням вимог уніфікації

Гідравлічні насоси, як правило, проектируються в вигляді параметричних рядів, які мають різні типорозміри. Являється явним, що при цьому мета проектувальника як можна в більшій ступені уніфікувати елементи ряду, створюючи гідрообладнання, яке включає в себе складальні одиниці або деталі,

які будуть загальними для всього ряду або його частині. При цьому окремий гідроагрегат не являється оптимальним до вибраному критерію якості, і необхідно знайти компромісне рішення, яке в найкращому ступені задовільнить даний критерій та вимоги уніфікації. Таке рішення може бути отримане з застосуванням математичного моделювання і методів дослідження операцій.

Розглянемо задачу автоматизованого синтезу оптимальних параметрів конструкції з врахуванням вимог уніфікації на прикладі мінімізації габаритних розмірів аксіально-поршневого гідронасоса.

Будемо вважати, що в результаті рішення оптимізаційної задачі для кожного  $k$ -го типорозміру ряду насосів отримано вектор  $\bar{X}_{k,\text{opt}}$  оптимальних параметрів, які забезпечують мінімум габаритних розмірів, що характеризується відповідним значенням  $\Phi_k$  критеріальної функції.

При цьому виникає необхідність другого етапу рішення задачі. Із нормального ряду вибираються дискретні значення діаметрів поршнів, які є близькими до  $(d_n)_{\text{opt}}$ , отримані при рішенні задачі з неперевірними параметрами, ці значення фіксуються і проводиться оптимізація по іншим параметрам.

Радіальні габаритні розміри, які відповідають оптимальним параметрам при фікованих значеннях діаметрів поршнів наводяться в табл.2.1

Таблиця 2.1. Радіальні габаритні розміри, які відповідають оптимальним параметрам

№ типорозміру	Подача насоса $Q, \text{л}/\text{хв}$	Габаритні розміри при діаметрі плунжера $d_n, \text{мм}$
1	6	14 84
2	9,45	16 92,4 90 95,1 98
3	15	18 104 102,5 97,9

Із табл.2.1 випливає, що для насоса з подачею  $Q = 6 \text{ л}/\text{хв}$  оптимальним являється значення діаметра поршня  $d_n = 14 \text{ мм}$ , а для насоса  $Q = 15 \text{ л}/\text{хв}$  діаметр поршня складе  $d_n = 18 \text{ мм}$ , так як дані значення діаметрів поршнів забезпечують

мінімальні значення габариту  $L$  для відповідних значень  $Q$ .

Таким чином із вказаних вище трьох значень  $(d_n)$  необхідно вибрати оптимальне одне, яке в цілому найкращим чином відповідає задачі оптимізації, тобто таке значення  $(d_n)$ , ке не являючись оптимальним для кожної гіdraulічної

машини, в середньому забезпечує можливо найменші габаритні розміри групи насосів.

Це типова задача вибору критерію ефективності в діапазоні умов. Під «умовами» в даному випадку розуміється подача насоса (тобто який-небудь рядок в матриці ефективності, наведений в табл. 2.1.), а під варіантом уніфікації яке-небудь значення діаметра поршня  $(d_n)$  (тобто стовбець матриці ефективності). Для вибору стовбцю матриці, який являється рішенням поставленої задачі, складемо вираз комплексного критерію  $W_i$ , який дозволяє оцінити ефективність кожного  $i$ -го варіанту:

$$W_i = \sum_{k=1}^n a_k \cdot L_{ik} \quad (2.4.)$$

Де  $a_k$  - коефіцієнт вагомості критерію, який відповідає  $k$ -й умові (подачі насоса);

$n$  - число типорозмірного ряду, який підпадає під уніфікацію;

$L_{ik}$  - габаритний розмір для  $i$ -го варіанту при  $k$ -й умові (елемент матриці ефективності).

Коефіцієнт вагомості в кожній конкретній задачі може мати різний фізичний зміст: відносну вартість або вагу  $k$ -го типорозмірного ряду, відносну потребу або відносну програму випуску  $k$ -го типорозміру. Коефіцієнти вагомості підпорядковуються умові:

$$\sum_{k=1}^n a_k = 1, \quad (2.5.)$$

Комплексний показник у вигляді виразу (2.4) має розмірність довжини. В безрозмірній формі він прийме вид:

**НУБІЙ України** (2.6.)

де  $L_{0k}$  – габаритний розмір, який відповідає оптимальному рішенню для  $k$ -го типорозмірного ряду.

Показник ефективності в вигляді виразу (2.6) виражає сумарне відносне збільшення габаритних розмірів для групи насосів при їх уніфікації, і є зручний для вибору раціонального розбиття всього типорозмірного ряду на частини, в границях яких доцільна уніфікація. Якщо в задані, що розглядається, вважати коефіцієнти  $a_k$  відображенням функції потрібності, то кожне значення  $a_k$

**НУБІЙ України** (2.7.)

визначається за виразом:

$$a_k = \frac{N_k}{\sum_{k=1}^n N_k},$$

де  $N_k$  – потреба господарств в виробі  $k$ -го типорозміру.

**Аналіз функції потреби для вказаних вище типорозмірів насосів показує, що для  $\varOmega = 6 \text{ л/хв}$ ,  $a_1 = 0,7$ , для  $\varOmega = 9,45 \text{ л/хв}$  і  $\varOmega = 15 \text{ л/хв}$  відповідно**

$a_2 = a_3 = 0,15$ . Використовуючи наведені значення коефіцієнтів ваги і матрицю ефективності (див. табл. 2.1.), одержимо наступні значення комплексного критерію (2.4.) для оцінки варіантів уніфікації:

$$W_1 = 0,7 \cdot 84 + 0,15(90,4 + 104) = 87,96 \text{ мм},$$

$$W_2 = 0,7 \cdot 92,4 + 0,15(90 + 102,5) = 93,55 \text{ мм};$$

$$W_3 = 0,795,1 + 0,15(98 + 97,9) = 95,95 \text{ мм}.$$

**Чисельні значення безрозмірного комплексного критерію (2.6.) визначаються наступним чином:**

$$W_1 = \frac{90,4 - 90}{90} + \frac{104 - 97,9}{97,9} \cdot 0,15 = 0,01;$$

$$W_2 = 0,7 \cdot \frac{92,4 - 84}{84} + 0,15 \cdot \frac{102,5 - 97,9}{97,9} = 0,077;$$

$$W_3 = 0,7 \cdot \frac{95,1 - 84}{84} + 0,15 \cdot \frac{98 - 90}{90} = 0,106.$$

Відповідно до отриманих значень обох комплексних критеріїв при уніфікації слід вибирати значення  $d_n = 14 \text{ мм}$ . При цьому оптимальні параметри уніфікованих насосів визначаються значеннями  $x_i$ , що відповідають  $d_n = 14 \text{ мм}$ .

Таким чином, викладений метод дозволяє обґрунтовано вибирати параметри уніфікованих гіdraulичних виробів, які що найкраще відповідають завданням оптимізації, а також установлювати раціональну «довжину» уніфікованої частини типорозмірного ряду, що дозволяє збалансувати суперечливі вимоги уніфікації і оптимізації.

Проведено аналітичні розрахунки і наведено графічні Залежності для визначення відносних параметрів для аксіально-поршневих підронасосів від відносного розміру  $L_0$ , для визначення габаритних розмірів (табл.2.2, рис. 2.3), а також для визначення втрат потужності (табл.2.3. рис. 2.4).

Таблиця 2.2.  
Розрахункові значення для визначення відносних параметрів (габаритних розмірів насосів) від відносного розміру  $L_0$

№ п/п	Значення показників за отримані за існуючою методикою	$L/L_0$	$L_0 = \sqrt[3]{q_T}, \text{ см}$	Значення показників за запропонованою методикою	$L/L_0$	$L_0 = \sqrt[3]{q_T}, \text{ см}$
1	3,41	3,0	3,0	3,1	3,0	3,0
2	2,99	4,0	2,98	4,0		
3	3,28	5,0	2,87	5,0		
4	3,2	6,0	2,82	6,0		
5	3,18	7,0	2,79	7,0		
6	3,17	8,0	2,76	8,0		
7	3,19	9,0	2,71	9,0		

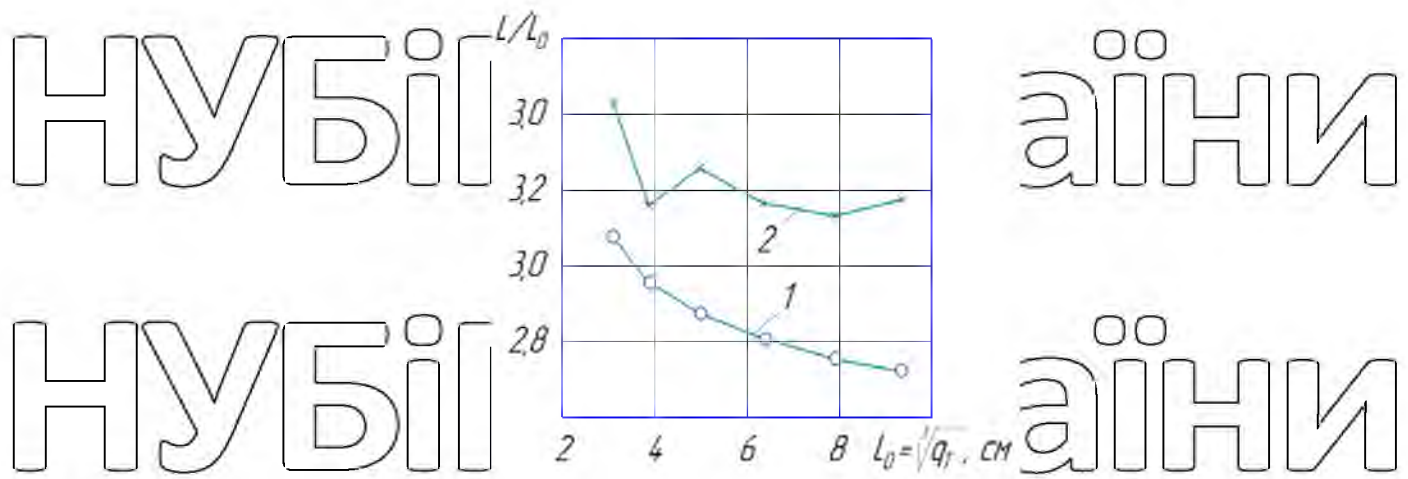


Рис 2.3. Залежність відносних параметрів (габаритних розмірів насосів) від

відносного розміру  $L_0$ : 1- проектування за запропонованою методикою; 2- проектування за традиційною методикою.

Отримані графічні залежності показують, що застосування

запропонованих методик дозволяє зменшити габаритні розміри на 10...15%. При

цьому необхідно виділити, що з ізбільшенням показника  $L_0 = \sqrt[3]{q_T}, \text{cm}$  габаритні розміри проектуемого гідроагрегату оптимизуються в сторону його зменшення, що значно збільшує енергетичну оцінку гіdraulічного агрегату.

Таблиця 2.3.

№ п/п	Значення показників отримані за існуючою методикою		Значення показників за запропонованою	
	$\bar{W}$	$L_0 = \sqrt[3]{q_T}, \text{cm}$	При частоті обертання вала $n = 1600 \text{ rev}^{-1}$	При частоті обертання вала $n = 1500 \text{ rev}^{-1}$
1	0,048	3,0	0,030	3,0
2	0,054	4,0	0,030	4,0
3	0,041	5,0	0,031	5,0
4	0,042	6,0	0,032	6,0
5	0,041	7,0	0,033	7,0
6	0,040	8,0	0,034	8,0
7	0,039	9,0	0,035	9,0

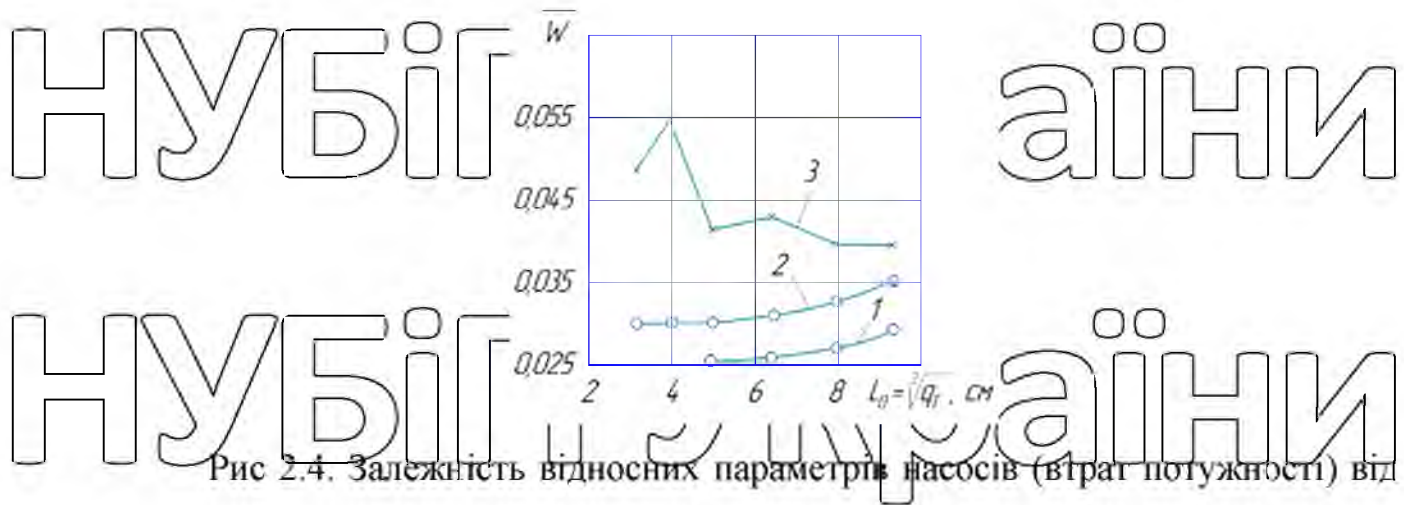


Рис 2.4. Залежність відносних параметрів насосів (втрат потужності) від

відносного розміру  $L_0$ : 1- проектування за запропонованою методикою при

частоті обертання  $\Omega_f = 1000 \text{ хв}^{-1}$ ; 2- проектування за традиційною методикою  $n = 1500 \text{ хв}^{-1}$ ; 3- проектування за традиційною методикою.

Отримані трафічні залежності показують, що застосування

запропонованих методик для проектування складових аксіально-поршневих

гідронасосів дозволяє

дозволити зменшити втрати потужності в насосах у горівненні з досягнутим

рівнем на 30...40%.

Проведені дослідження були орієнтовані на врахування конструктивних

особливостей і практично не враховувався вплив експлуатаційних факторів. Які

обумовлюють в умовах експлуатації зміну структурних і функціональних

параметрів гідронасосів і вчасності для пари тертя «втулка-блоку-плунжер».

В зв'язку з цим виникає необхідність дослідити функціональну залежність

між зміною структурних параметрів в з'єднанні «втулка блоку-плунжер» і об'ємними

втратами робочої рідини.

**2.3. Розгляд взаємозв'язку між зазором в сполученні «втулка блоку-**

**плунжер» і витоками робочої рідини**

Дослідження, проведені в першому розділі, показали, що до параметрів технічного стану, які обумовлюють об'ємні втрати і впливають на роботоздатність гідроприводу привода трансмісії слід віднести зношування

слодучення «втулка блоку – плунжер»

У цьому випадку нас буде цікавити об'єм витоків робочої рідини, обумовлений зношуванням деталей з'єднання «втулка блоку – плунжер».

Тому для розгляду нашого взаємозв'язку скористаємося вже відомими залежностями, при цьому необхідно враховувати, що зношування втулки й плунжера відбувається нерівномірно [17, 18]. Нерівномірність зношування пояснюється наявністю перекидаючого моменту на п'яті плунжера, який викликає його перекіс у втулці.

Очевидно у зв'язку із цим величина витоків робочої рідини повинна визначатися з врахуванням реального положення плунжера у втулці (рис.2.5.) [5]:

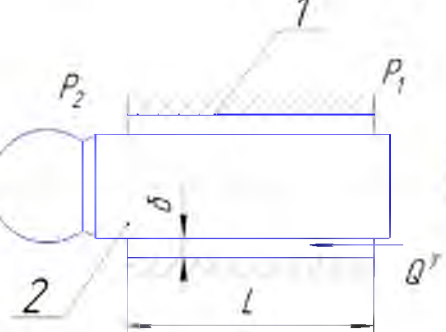


Рис. 2.5. Схема, яка ілюструє ексцентричну щілину, яка виникає із-за прекосу

плунжера (2) в втулці (1).

$$Q^y = Q_k^y \left(1 + \frac{3}{5} \frac{e}{a}\right)$$

[2.8.]

де  $Q_k^y$  - втрати робочої рідини через радіальний зазор при концентричному

розташуванні плунжера, які визначаються за виразом:

$$Q_k^y = \frac{\pi D \cdot \Delta P \cdot \delta}{12 \cdot l \cdot \nu \cdot \rho}$$

[2.9.]

де  $D$  - середній діаметр щілини;

$\Delta P$  - перепад тиску робочої рідини на розрахунковій дільниці;

$\delta$  - номінальний зазор в спряженні;

$l$  - довжина дільниці, на якій визначаються втрати робочої рідини.

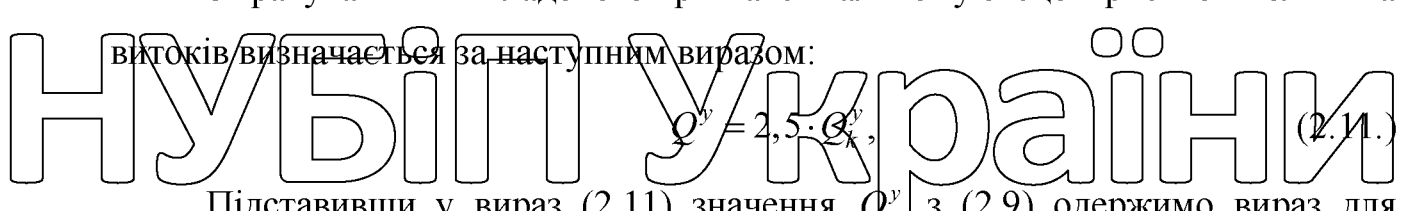
$\varepsilon$  - відносний ексцентризитет, який дорівнює:



$$\varepsilon = \frac{e}{\delta}, \quad (2.10.)$$

$e$  - величина зміщення осі плунжера, відносно вісі втулки.

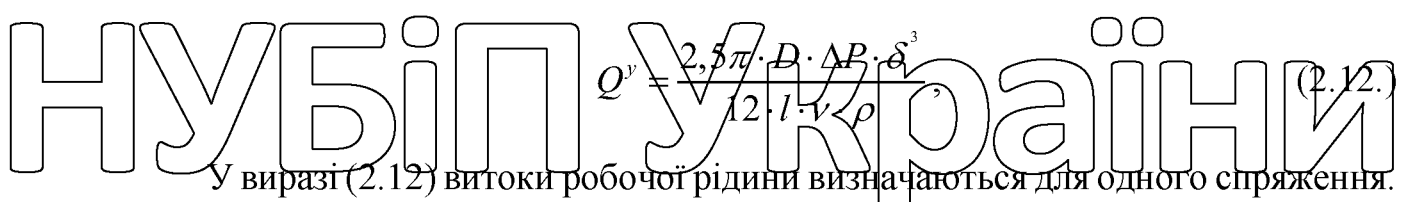
З врахуванням викладеного при максимальному ексцентризитеті величина витоків визначається за наступним виразом:



$$Q^y = 2,5 \cdot Q_k^y, \quad (2.11.)$$

Підставивши у вираз (2.11) значення  $Q_k^y$  з (2.9) одержимо вираз для

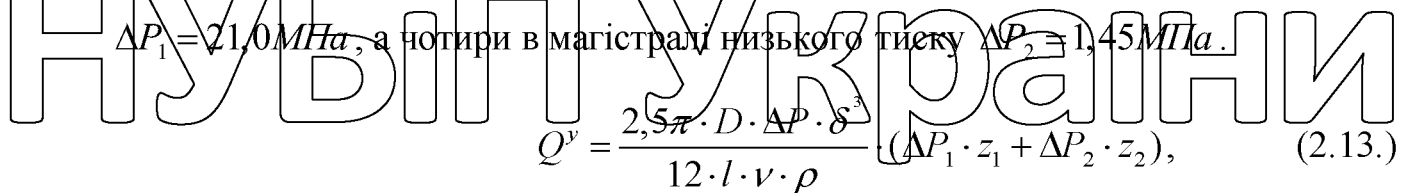
визначення витоків робочої рідини у сполученні «втулка блоку – плунжер»:



$$Q^y = \frac{2,5 \pi \cdot D \cdot \Delta P \cdot \delta^3}{12 \cdot l \cdot \nu \cdot \rho}, \quad (2.12.)$$

У виразі (2.12) витоки робочої рідини визначаються для одного спряження.

Коли качаючий вузол аксіально-поршневого гідронасоса містить у собі дев'ять плунжерів, при цьому п'ять плунжерів працюють у магістралі високого тиску



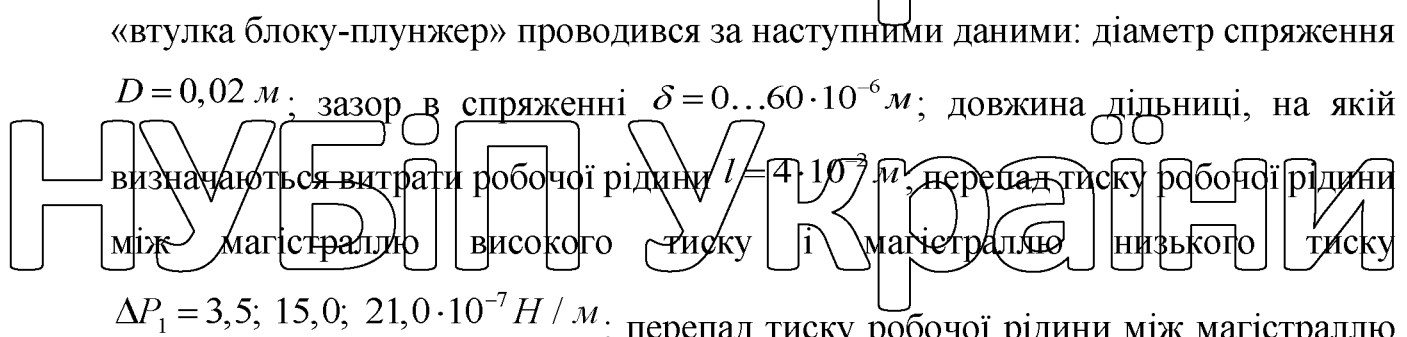
$$\Delta P_1 = 21,0 \text{ MPa}, \text{ а чотири в магістралі низького тиску } \Delta P_2 = 1,45 \text{ MPa}.$$

$$Q^y = \frac{2,5 \pi \cdot D \cdot \Delta P \cdot \delta^3}{12 \cdot l \cdot \nu \cdot \rho} (\Delta P_1 \cdot z_1 + \Delta P_2 \cdot z_2), \quad (2.13.)$$

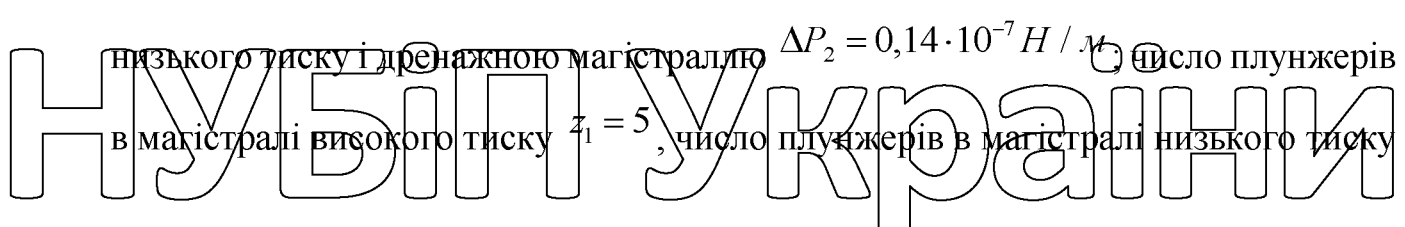
де  $\Delta P_1$  - тиск робочої рідини у магістралі високого тиску;  
 $\Delta P_2$  - тиск робочої рідини у магістралі низького тиску;



Розрахунок витрат робочої рідини в залежності від зазору в спряженні «втулка блоку-плунжер» проводився за наступними даними: діаметр спряження  $D = 0,02 \text{ m}$ ; зазор в спряженні  $\delta = 0 \dots 60 \cdot 10^{-6} \text{ m}$ ; довжина дільниці, на якій визначаються витрати робочої рідини  $l = 4 \cdot 10^{-3} \text{ m}$ , перепад тиску робочої рідини між магістраллю високого тиску і магістраллю низького тиску



$\Delta P_1 = 3,5; 15,0; 21,0 \cdot 10^{-7} \text{ H/m}$ ; перепад тиску робочої рідини між магістраллю низького тиску і дренажною магістраллю  $\Delta P_2 = 0,14 \cdot 10^{-7} \text{ H/m}$ ; число плунжерів в магістралі високого тиску  $z_1 = 5$ , число плунжерів в магістралі низького тиску



число плунжерів в магістралі низького тиску  $z_2 = 4$ .

$\nu = 4$ ; щільність робочої рідини  $\rho = 900 \text{ кг} / \text{м}^3$ ; коефіцієнт кінематичної вязкості  $\nu = 12 \cdot 10^{-6} \text{ м}^2 / \text{s}$ . Результати розрахунків зведені в таблицю 2.4. і представлені графічно на рис. 2.6.

Таблиця 2.4.  
Значення розрахункових сумарник витрат робочої рідини, обумовлених зазором в спряженні «втулка блоку-плунжер»

Значення зазору $\delta$ , $\mu\text{м}$	Витрати робочої рідини в $Q^y, \text{см}^3 / \text{s}$ для наступних значень $\Delta P_1, \Delta P_2$
	$\Delta P_1 = 3,5 \text{ МПа}$ $\Delta P_1 = 5,0 \text{ МПа}$ $\Delta P_1 = 21,0 \text{ МПа}$
	$\Delta P_2 = 1,40 \text{ МПа}$ $\Delta P_2 = 1,40 \text{ МПа}$ $\Delta P_2 = 1,40 \text{ МПа}$
10	0,59
20	4,72
30	15,93
40	37,80
50	73,80
60	127,40

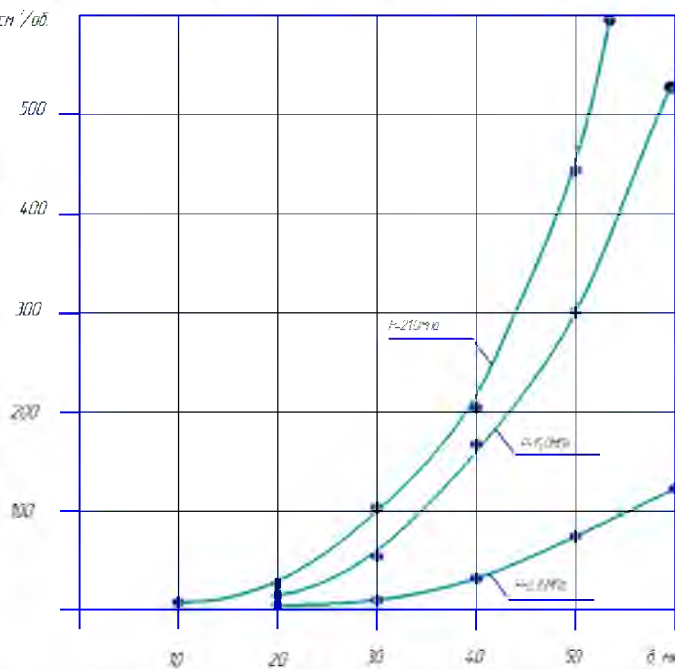


Рис. 2.6. Залежність витоків робочої рідини від зазору в спряженні «втулка блоку-плунжер»

Аналіз отриманих результатів показує, що при зміненнях зазору в ширину

тертя «втулка блоку – плунжер», рівному 40 мкм, витоки робочої рідини наближаються до граничних значень ( $225 \text{ см}^3/\text{s}$ ) і становлять  $221 \text{ см}^3/\text{s}$ . Однак для одержання точної оцінки граничного значення зазору, а також

визначення частки витоків робочої рідини, яка обумовлюється зношуванням деталей спряження «втулка блоку – плунжер», необхідно провести

експериментальне дослідження взаємозв'язку між зазором і витоками робочої рідини, а також визначити динаміку зазору.

Таким чином проведені теоретичні дослідження взаємозв'язку між зазором спряження «втулка блоку – плунжер» і витоками робочої рідини дозволяють

зробити наступні висновки:

1. У якості структурного параметра технічного стану деталей спряження «втулка блоку – плунжер» слід враховувати середнє значення зазору (до скільки

плунжер розташовується у втулці з перекосом і обумовлює нерівномірне зношування втулки).

2. Для одержання точної оцінки граничного значення зазору частки витоків робочої рідини, яка обумовлюється зношуванням деталей спряження «втулка блоку – плунжер» необхідно провести експериментальне дослідження взаємозв'язку між зазором і витоками робочої рідини, а також визначити динаміку зазору.

#### 2.4 Дослідження впливу механічних втрат в плунжерній парі на

##### роботоздатність гідроприводу

У підрозділі 2.2. при розгляді задач автоматизованого синтезу оптимальних параметрів конструкції гідрагрегату, на прикладі мінімізації габаритних розмірів аксіально-поршневого гідронасоса та механічних втрат, випливає, що механічні втрати гідроприводу обумовлюються технічним станом наступних з'єднань: «п'ята плунжера - опора люльки»; «втулка блоку-плунжер».

Тоді до структурних параметрів, які впливають на механічні втрати аксіально-поршневого гідронасоса, слід віднести зношування деталей у спряженнях: «кільцева опора п'яти - опора люльки» (для гідронасоса) і «втулка

блоку-плунжер».

Розглянемо робочу гіпотезу про те, що зношування кільцевої опори обумовлює механічні втрати, які впливають на роботоздатність гідроприводу.

Проведемо попередній аналіз технічного стану кільцевої опори п'яти в умовах експлуатації на якісному рівні рис.2.7., а також розглянемо умови роботи

плунжерної пари.



Рис.2.7. Загальний вид зношення п'яти

На рис 2.7 наведено загальний вид п'яти плунжера аксіально-поршневого гідронасосу, який потрапив до ремонту. На якому чітко проявляються риски, обумовлені гідроабразивним спрацюванням кільцевої опори: як наслідок цього зношений сліди зміття кільцевої опори в результаті порушення роботи гідростатичного підшипника. Такий стан сприяє обумовлюється тим, що у

процесі роботи плунжерної пари її деталі сприймають суттєві навантаження від дії основних сил, які схематично представлені на рис.2.8.

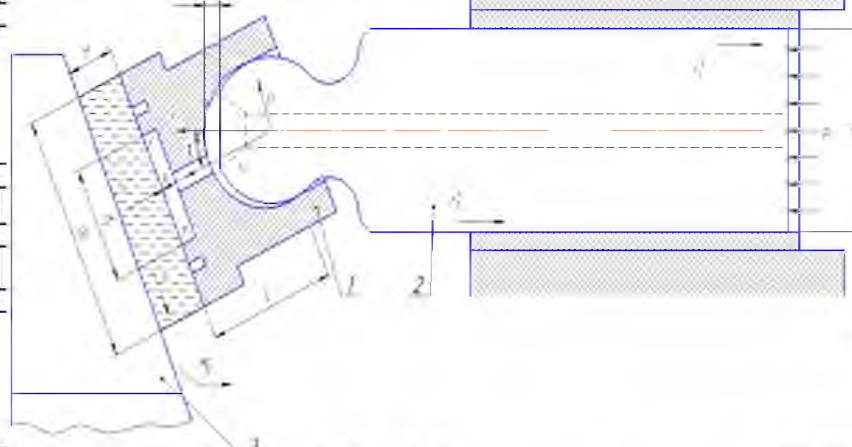


Рис. 2.8 Схема роботи гідростатичної збалансованої опори. 1 – п'ята плунжера; 2 – плунжер; 3 – похила шайба; 4 – втулка.

Розглянемо, які діють на плунжер, п'яту і втулку блока відповідності до (рис.2.8.):

$F_{\text{ж}}$  - сила обумовлена дією робочої рідини на торець плунжера

(розкладується на його сферичній опорі на силу, яка притискає п'яту плунжера до похилої шайби  $F_1$  і тангенціальну силу  $F_2$ , яка обумовлює крутний момент блоку);

$F_p$  - сила, що відтискає п'яту плунжера від похилої шайби (або люльки гідронасоса) і забезпечує гідростатичну опору п'яти плунжера на похилу поверхню похилої шайби.;

$F_T$  - сила тертя в спряженні «кільцева опора п'яти - опора люльки» (для гідронасоса);

$F_T^C$  - сила тертя сила тертя в спряженні «втулка блоку – плунжер»;

$F_u, F_v$  - інерційна і відцентрова сила, що діють на плунжер, п'яту, сепаратор;

$F_C$  - сила дії пружин на сепаратор для фіксації п'яти плунжера.

Вплив інерційних  $F_u$  й відцентрових сил  $F_v$  на плунжер не значне і становить приблизно 2% від діючої сили [17]. Крім того сили  $F_u$  і  $F_v$  взаємно компенсуються із силою  $F_C$ , яка створюється пружинами сепаратора.

С очевидним, що механічні втрати будуть залежати від сил тертя  $F_T$  і  $F_T^C$  у спряженні «кільцева опора п'яти - опора люльки», а також «втулка блоку – плунжер».

При номінальному технічному стані п'яти між параметрами тертя має місце режим рідинного змащення, що забезпечує відсутність безпосереднього контакту металевих поверхонь. У цьому випадку сила тертя  $F_T$  не залежить від стану поверхонь тертя, а визначається лише внутрішніми властивостями змащення [20]:

$$F_T = \tau \cdot s \frac{\omega}{H},$$

(2.14.)

де  $\tau$  - динамічна в'язкість рідини;  
 $s$  - площа поверхонь тертя;  
 $\omega$  - швидкість переміщення пар тертя;  
 $H$  - товщина шару робочої рідини.

Однак у процесі експлуатації гідроприводу разом з робочою рідиною до деталей, які працюють в спряженнях «кільцева опора п'яти - похила шайба» «кільцева опора п'яти - опора люльки» попадають абразивні частки різних розмірів, які втискаються в більш м'яку поверхню латунної або бронзової п'яти, утворюючи гіроабразивні канали різної глибини та профілю.

Наявність таких каналів приводить до перерозподілу потоку робочої рідини у гідростатичному підшипнику, порушує його аксіальну жорсткість і створює передумови до виникнення непаралельності між кільцевою опорою п'яти й опорою люльки або похилої шайби.

Непаралельність поверхонь деталей в спряженні «кільцева опора п'яти - опора люльки», в процесі експлуатації, приводить до виникнення умов граничного змащення, коли деякі ділянки робочих поверхонь деталей спряження мають металевий контакт.

В умовах граничного змащення силу тертя можна розглядати, як силу сухого тертя на вершинах нерівностей і рідинного в порожинах, утворених профілем торцевої поверхні кільцевої опори [20]:

$$F_T = f \cdot \left( P \cdot S_T + \tau \frac{\omega}{H} \cdot S_M \right), \quad (2.15.)$$

де  $f$  - коефіцієнт тертя для граничних умов;  
 $S_T$  - площа, на якій здійснюється контакт твердих тіл;  
 $H$  - товщина шару мастила в каналах, які утворюються в результаті зношування;

$S_M$  - площа, на якій відбувається зрушення шарів мастила.  
Подальше зношування кільцевої опори п'яти злужка завершується переходом від умов граничного тертя до збільшення площин сухого контакту між

поверхнями тертя  
**НУБІП України**  
 де  $\phi$  - коефіцієнт сухого тертя  
 $F_T = \phi \cdot F_1$ , (2.16.)

$F_1$  - сила, яка притискає п'яту плунжера до поверхні тертя.

Зміна умов роботи леталей в з'єднанні приводить до збільшення сили тертя і проявляється як порушенням теплового режиму і роботи.  
**НУБІП України**  
 Зростання температурного режиму роботи деталей в з'єднаннях «слізева опора п'яти - опора люльки» для аксіально-поршневого гідронасоса, і «кільцева опора п'яти - похила шайба» для гідронасоса, в залишковому підсумку приводить до повного змигнання кільцевої опори п'яти з наступним завальчуванням вихідного її каналу, який забезпечує підвід робочої рідини під п'яту і в ціому роботу гідростатичного підшипника (рис.2.9,2.10).



Робота деталей з'єднання в таких умовах супроводжується різким збільшенням перекидаючого моменту  $M_{\text{п}}$ , який визначається за виразом (2.17).

де  $M_{\text{п}}$  - момент сил, направлений на перекидання плунжера;

$l$  - висота центра сферичної опори плунжера.

Збільшення перекидаючого моменту є основною причиною, яка приводить до руйнування заробки п'яти плунжера (рис 2.41). Вирив п'яти із заробки плунжера приводить до раптової аварійної відмови, тому що безпосередній контакт сферичної поверхні плунжера з похилою шайбою приводить до скоплювання металів яке обумовлює заклинивачня качаючого вузла аксіально-поршневої гідромашини.



Рис 2.11. Вирив п'яти із заробки плунжера

Таким чином, розглянутий взаємозв'язок між зношуванням кільцевої

опори п'яти і роботоздатністю гідроприводу, показує, що він приводить до порушення роботи гідростатичного піщаника в з'єднанні, яке обумовлює зростання сил тертя, зміну температурного режиму, що в процесі експлуатації приводить до механічних втрат в агрегатах, значних структурних змін і геометрії кільцевої опори п'яти та завершується аварійною відмовою в результаті заклинивачня плунжера в втулці блоку.

Для підтвердження даної робочої гіпотези виникає необхідність проведення експериментальних досліджень, які дозволяють визначити

взаємозв'язок між технічним станом кільцевої опори п'яти і температурним режимом роботи з'єднання

Водночас проведені дослідження показали, що одними із заходів, які дозволяють уникнути аварійної відмови, обумовленої зношеннем кільцевої опори п'яти і заклиниванием плунжера в втулці, являється зменшення сил тертя в

контакті плунжера зі втулкою в момент його перекосу, та тривалості даного контакту. Це можливо зробити за рахунок конструктивних змін втулки блока, які дозволить зменшити дію сил в зоні контакту плунжера зі втулкою при його перекосі за рахунок гасіння вібраційних навантажень та поглинання ударних застосуваним в конструкції втулки пружньо-демпфуючий елементів.

З проведених досліджень випливає, що наявність тангенціальних сил, які виникають при криванні п'яти по опорі при обертанні блока, обумовлює «перекошення» плунжера в втулці, що приводить до характерного зношення деталей і обумовлює зростання механічних та об'ємних втрат, а в подальшому може привести до заклинивания плунжера в втулці і як правило аварійної відмови.

Для запобігання даного відказу рекомендується провести конструктивну зміну втулки блока, яка дозволить зменшити дію сил в зоні контакту плунжера зі втулкою при його перекосі за рахунок гасіння вібраційних навантажень та поглинання ударних.

Запропоновані конструкції втулки наводяться на рис. 2.12.

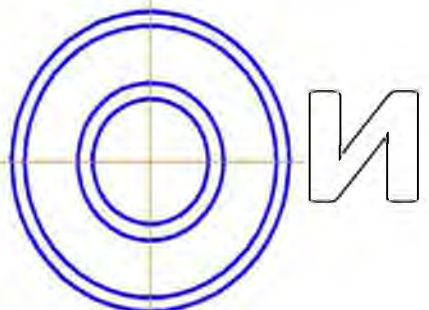
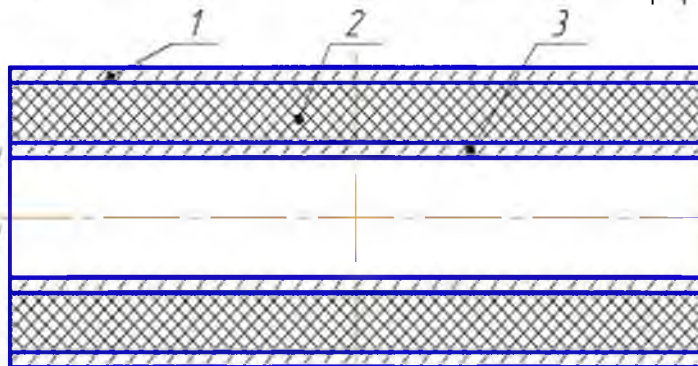


Рис. 2.12. Конструкція втулки блока: 1 – зовнішня втулка; 2 –

упругодемпфуючий елемент; 3 – внутрішня втулка

Втулка складається з зовнішньої 1 і внутрішньої 3 втулок, які з'єднуються

між собою пружньо-демпфуючим елементом 2.

Запропонована конструкція втулки працює наступним чином. При перекосі плунжера в точках дотику його з втулкою виникають сили тертя, які зростають за рахунок збільшення перекидного моменту, який обумовлюється тангенціальними силами, що виникають при ковзанні п'яти по опорі при обертанні блока. Зростання сил тертя між плунжером і втулкою приводить до збільшення пульсації робочої рідини і як наслідок вібраційних навантажень. Для гасіння останніх між внутрішньою 3 і зовнішньою 1 втулками розміщується пружньо-демпфуючий елемент 2, який деформується і поглинає енергію хвиль.

Крім того за рахунок демпфування зменшується тривалість контакту між втулкою і плунжером коли вони знаходяться в зоні максимальних тангенціальних сил, що значно покращує умови роботи деталей спряження, підвищую надійність агрегатів і запобігає зменшенню кількості аварійних відмов.

Аналітично проведені дослідження впливу зношування кільцевої опори п'яти плунжера на працездатність гідроприводу, за рахунок росту механічних втрат, дозволяють зробити наступні виводи:

1. Аналіз сил, що діють на п'яту і плунжер, а також технічного стану кільцевої опори п'яти плунжера, показав, що ріст її зношування порушує аксіальну жорсткість гідростатичного підшипника і одновідбувається непаралельністю між поверхнями тертя, що призводить до зміни умов роботи з'єднання, переходом від рідинного тертя через граничне до сухого завершується аварійною відмовою через виривши а п'яти із заклинення плунжера.

2. Зменшення кількості аварійних відмов, обумовлене заклинюванням плунжера в втулці блока, можливе за рахунок конструктивних змін втулки блока, що дозволить зменшити дію сил в зоні контакту плунжера зі втулкою при його перекосі за рахунок гасіння вібраційних навантажень та поглинання ударних.

## РОЗДІЛ 3 ПРОГРАМА І МЕТОДИКА ЕКСПЕРИМЕНТАЛЬНИХ ДОСЛІДЖЕНЬ

В відповідності з поставленними задачами програма експериментальних

досліджень включає наступне:

1. Провести дослідження з виявлення характеру та величини зношення деталей в спряженнях плунжерію пари: «втулка блоку-плунжер», «кільцева опора п'яти плунжера-похила шайба».

2. Експериментально визначити вплив зношення деталей в плунжерній

парі качаючого вузла аксіально-поршневого гідронасоса на його об'ємні і механічні втрати.

3. З врахуванням результатів аналітичних та експериментальних

досліджень обґрунттувати конструктивні проектні рішення для деталей плунжерної пари аксіально-поршневого гідронасоса.

### **3.1. Методика визначення характеру і динаміки зношення деталей плунжерної пари**

Раніше відмічалося, що структурні зміни параметрів технічного стану

деталей в плунжерній парі характеризуються зношенням робочих поверхонь в спряженнях: «втулка блоку-плунжер», «кільцева опора п'яти плунжера-похила шайба».

Оцінка характеру і значень зношення з'єднань «втулка блока – плунжер»,

«кільцева опора п'яти – похила шайба») виконується при безсередньому їх візуальному огляді, фотографуванням робочих поверхонь, вимірюванням по наступним методикам.

Вид зношення деталей плунжерної пари визначається візуально.

Зношення деталей з'єднання «втулка блока-плунжер» виконується визначенням дійсних розмірів деталей.

Плунжери вимірюються в чотирьох перерізах в двох взаємно перпендикулярних площинах (рис. 3.1,а)) ричажкою скобою *СР – 25 ДСТУ 11098-2005* з ціною поділки - 0,002мм .

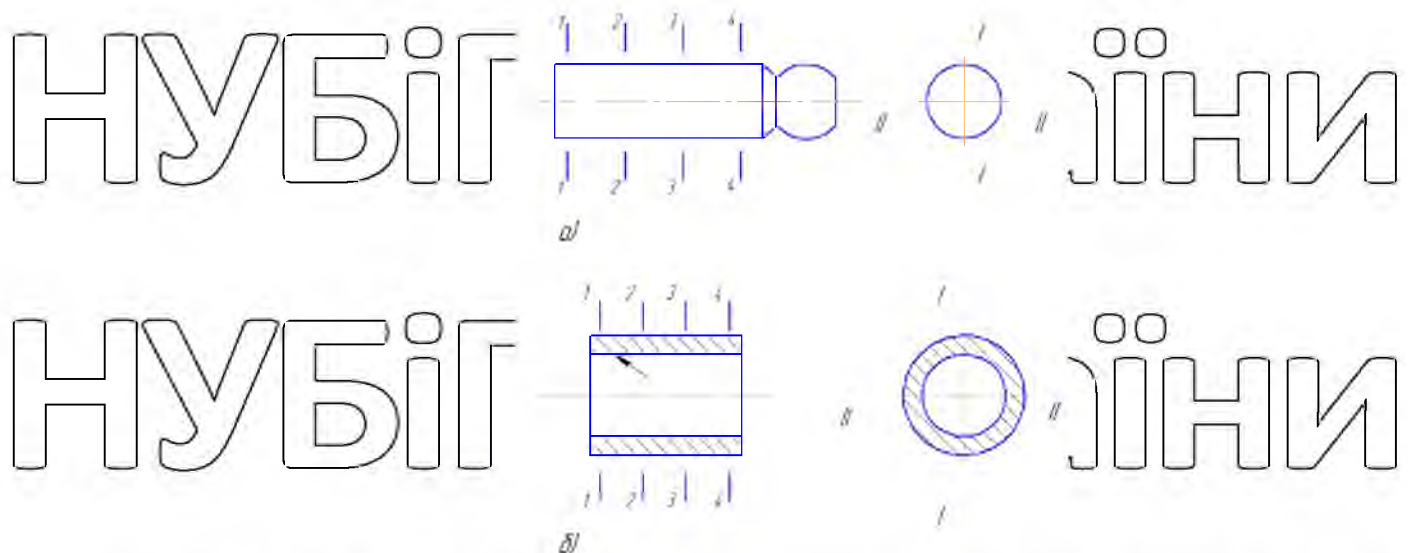


Рис. 3.1 Схема вимірювання деталей спряження «втулка блоку плунжер»: а) – плунжер; б) – втулка

Вимірювання втулок проводиться в чотирьох перерізах і в двох взаємно

перпендикулярних площинах (рис. 3.1, б)) нутроміром НІ 18–50 ДСТУ 9244-2005 з цінкою ділення – 0,001 мі.

Зношення висоти кільцевої опори п'яти плунжера визначається мікрометричним глибиноміром типу ГМ-100 ДСТУ 7470-2008 з цінкою поділки – 0,01мм (рис. 3.2). Стержень глибиноміра встановлюється в

центральній частині п'яти, яка не має зношення, що дає можливість виявити дійсну висоту кільцевої опори. Вимірювання проводиться в двох взаємно перпендикулярних площинах, а отримані результати вимірювань розраховуються в вигляді середнього значення.

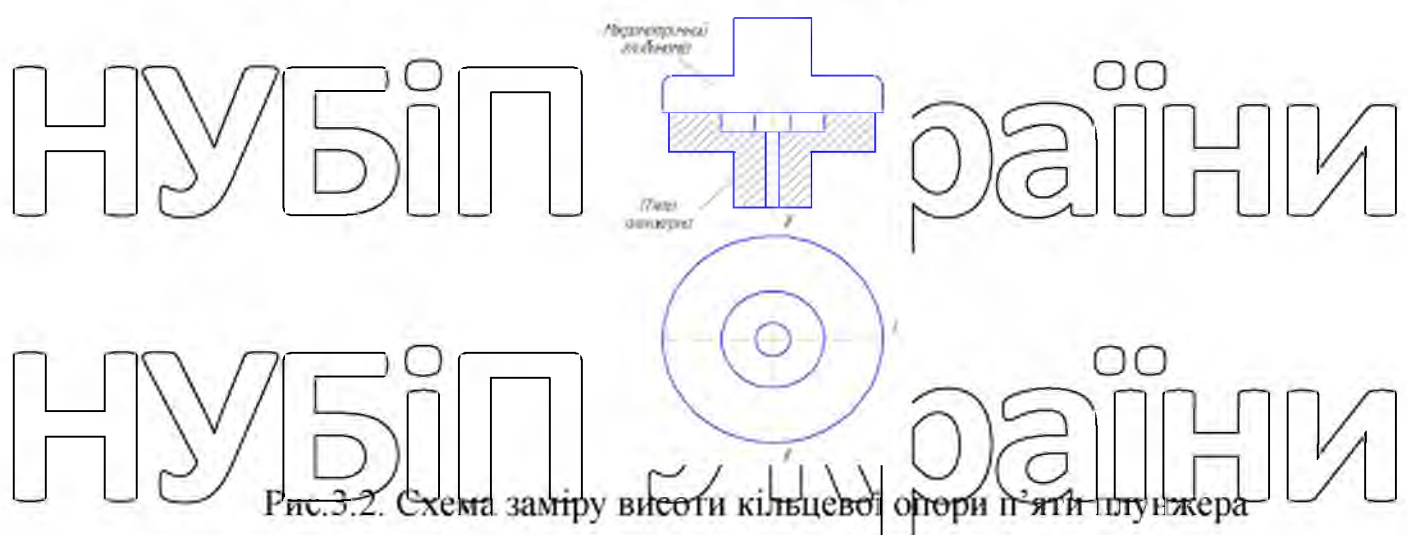


Рис.3.2. Схема заміру висоти кільцевої опори п'яти плунжера

Зношення кільцевої опори по висоті визначається із виразу:

$$h_3 = h_{nom} - h_{cd}, \quad (3.1.)$$

де  $h_3$  – зношення кільцевої опори по висоті,  $мм$ ;

$h_{nom}$  – номінальна висота кільцевої опори,  $мм$ ;

$h_{cd}$  – середня лійсна висота кільцевої опори,  $мм$ .

Обробка результатів вимірювань проводиться в відповідності з методами математичної статистики та теорії ймовірностей.

### 3.2. Експериментальна установка і вимірювальна апаратура, які використовуються при виконанні лабораторних досліджень

Для експериментального дослідження функціональних залежностей між зміною структурних параметрів технічного стану деталей плунжерної пари качаючого вузла аксіально-поршневого гідронасоса і його об'ємними та

механічними втратами необхідне проведення лабораторних досліджень, що обумовлюється складністю конструкції гідроагрегатів, а також умовами їх роботи.

На сьогоднішній день промисловістю не випускаються стенди для виконання операцій з обкатки та випробовування аксіально-поршневих гідромашин. В зв'язку з цим виникає необхідність розробити експериментальну установку, яка змогла б забезпечити проведення робіт дослідницького характеру, які дають можливість виявляти функціональні залежності між основними параметрами технічного стану гідроагрегатів. Нами розроблена

експериментальна установка, гідравлічна схема якої наводиться на рис. 3.3., а загальний вид представлено на рис. 3.4.

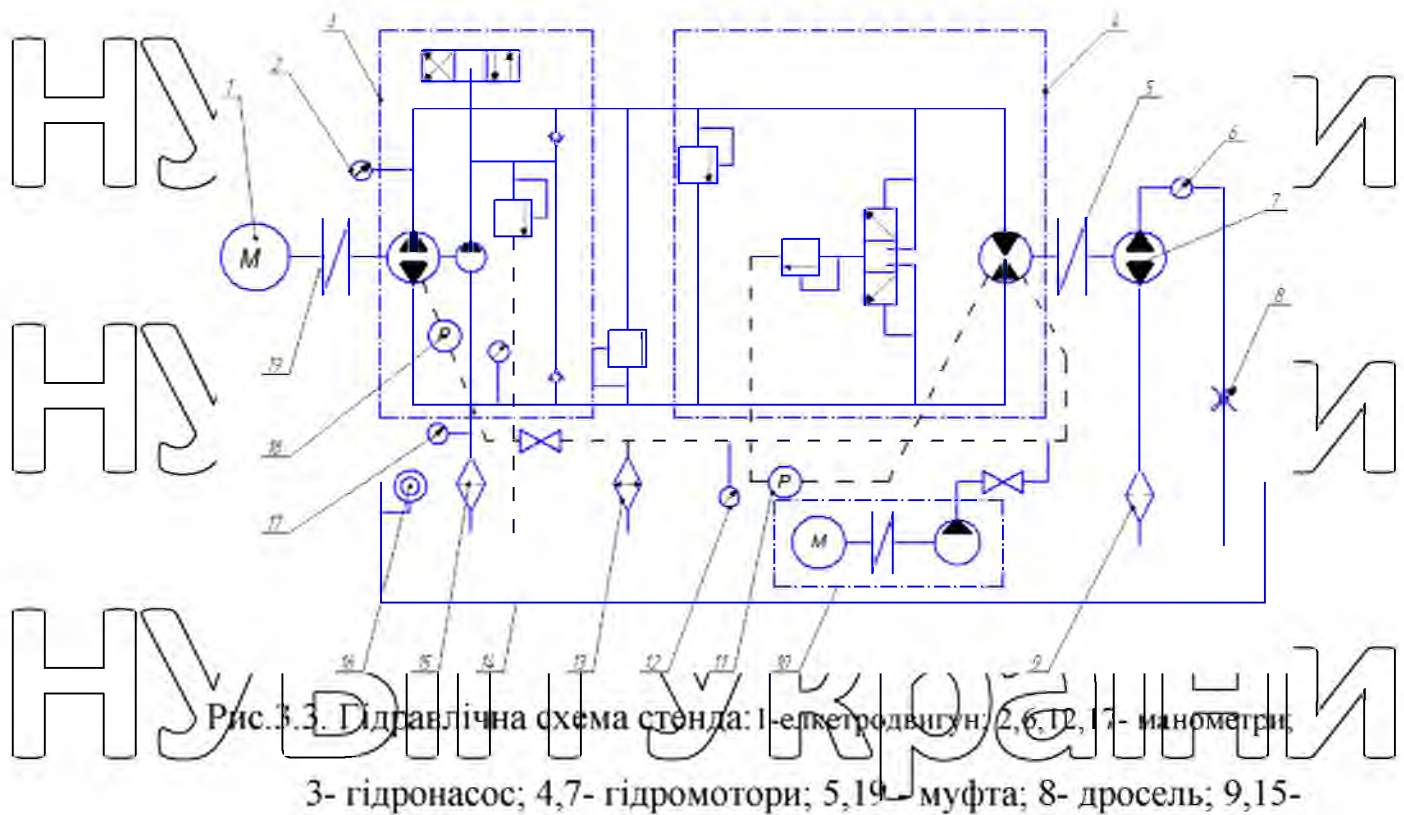


Рис.3.4. Комплексний стенд для експериментальних досліджень гідроприводу трансмісії: 1 - електродвигун; 2 - гідронасос; 3 - гідромотор; 4 - бак; 5 - насосна станція; 6 - манометр заміру тиску в магістралі підшипки; 7 - манометр заміру

тиску в дренажній магістралі; 8 - манометр заміру тиску в нагнітальній магістралі.

Основним агрегатом стендасерійний зразок гідрравличної трансмісії ГСТ-90), який складається з експериментального аксіально-плунжерного гідронасосу і аксіально-плунжерного гідромотора.

Привод гідронасоса здійснюється машиною балансирною АКБ-82-4 потужністю 55 кВт, частота обертання якої регулюється рідинним реостатом у діапазоні від  $600x\omega^{-1}$  до  $1500x\omega^{-1}$ .

Приладова частина, що включає в себе манометри, для контролю тиску,

витратоміри для вимірювання втрати робочої рідини, термометр для визначення температури робочої рідини.

Принцип дії стенду заключається в наступному. Електродвигун через з'єднувальну муфту 19 приводить в дію експериментальний аксіально-плунжерний регульований гідронасос 3, який в свою чергу приводить в дію аксіально-плунжерний нерегульований гідromотор 4 з'єднаний через муфту 5 з гальмівним пристроєм, що служить для навантаження гідроприводу в цілому і цим самим створювати різноманітні навантажувальні характеристики.

Гальмівний пристрій працює чином: гідromотор 7, що працює в режимі гідронасосу, приводиться в дію від основного гідromотору 4, при цьому він забирає робочу рідину з гідробаку 14 через фільтруючий елемент 9 і подає її на регульований дросель 8, за допомогою якого можна змінювати тиск в нагнітаючій магістралі і тим самим крутний момент на валу основного гідromотору 4. Тиск в нагнітаючій магістралі контролюється за манометром 6.

Підкачуочна станція служить для заповнення системи гідроприводу робочою рідиною перед пуском. Станція складається з електродвигуна, що з'єднаний з шестеренним насосом, і приводить його в дію, і тим самим забезпечує

подачу робочої рідини в дренажну магістраль гідроприводу.

Охолодження робочої рідини відбувається за допомогою теплообмінника 13, принцип дії якого оснований на теплообміні робочої рідини з проточною

водою.

Робоча рідина в гідропривід подається за допомогою насоса підживлення основного гідронасосу 3, через фільтр 15. Розріження в забірній магістралі контролюється за допомогою вакуумметра. Показання вакуумметра вказують ступінь забрудненості фільтруючого елементу.

Застосування електродвигуна постійного струму з регульованим частоти обертання дозволяє створювати різноманітні швидкісні режими, а разом з застосуванням гіdraulічного гальма можна створювати різноманітні навантажувальні режими, сукупність цих факторів дозволяє моделювати різноманітні характеристики гідроприводу.

Для зняття характеристик служить приладова частина стенду. Для вимірювання тиску в нагнітаючій магістралі служить манометр 7, тиск в дренажній магістралі контролюється манометром 12, тиск в магістралі гальмівного пристрою контролюється манометром 6, розріження в забірній магістралі насоса підживлення – за допомогою вакуумметра 15.

Для визначення сумарних втрат робочої рідини гідроприводу служать витратоміри 11 і 18. При чому витратомір 11 слугує для вимірювання витрати рідини через перепускний клапан клапанної коробки основного гідромотора 4,

витратомір 18 призначений для вимірювання сумарної витрати рідини в дренажній магістралі. Різниця показань витратомірів 18 і 11 відповідно, вказує на витрати робочої рідини через спряження деталей гідроприводу температура робочої рідини контролюється за допомогою термометра 16.

Розроблена конструкція забезпечує безступеневе гальмування агрегатів, які досліджуються, завдяки технологічного гідромотора, що повноцінно імітує навантаження відповідності з експлуатаційними режимами роботи гіdraulікої трансмісії, а також по робочому об'єму гідромотора можна визначати подачу основного насоса з врахуванням частоти обертання валів. Тобто гідромотор виконує функції лічильника рідини.

Основні параметри і характеристики розробленої конструкції стенду для випробування і обкатки об'ємних гідромашин представліні в табл. 3.1.

Таблиця 3.1.

№ п/п	Найменування приладу	Клас точності	Межа вимірювання	Призначення приладу
1	Манометр <i>МОШ 1 – 400</i> (ДСТУ 86 25-07)	0,15 МПа	0...40,0 МПа	Вимірювання тиску навантаження
2	Манометр <i>МОШ 1 – 25</i> (ДСТУ 86 25-07)	0,15 МПа	0...1,6 МПа	Вимірювання тиску в магістралі під живлення та магістралі низького тиску
3	Лічильник рідини <i>ШЖУ – 40 С – 6</i> (ДСТУ 12671-01)	0,5 м <sup>3</sup> /год	По витраті 1,8...18 м <sup>3</sup> /год	Вимірювання кількості робочої рідини в дренажній магістралі
4	Лічильник рідини <i>ШЖУ – 25 М – 16</i> (ДСТУ 12671-01)	0,5 м <sup>3</sup> /год	По витраті 1,8...18 м <sup>3</sup> /год	Вимірювання кількості робочої рідини в магістралі низького тиску
5	Електронний лічильник обертів <i>VECO – 5</i>	±1 оберт	0...99 999	Відлік обертів валу насоса і мотора
6	Манометричний термометр <i>ТПП2 – В</i>	4°C	0...125°C	Контроль температури робочої рідини

### 3.3. Методика визначення впливу зношенння кільцевої опори п'яти плунжера на температурний режим з'єднання «п'ята плунжера-похила

#### шайба»

Із аналізу технічного стану аксіально-поршневих гідромашин встановлено, що в процесі експлуатації проходить зношенння кільцевої п'яти плунжера.

При цьому проведені аналітичні дослідження в підрозділі 2.4. показали, що спрацювання кільцевої опори п'яти плунжера впливає на механічні втрати і приводить до зміни умов роботи деталей спряження (переходу від рідинного тертя до сухого), що супроводжується порушенням теплового режиму роботи пари тертя.

Для експериментального підтвердження видвинутої робочої гіпотези, яка

являється результатом аналітичних досліджень, першочергово підбиралися плунжера з п'ятами, які мали різне зношення кільцевої опори.

Враховуючи те, що робоча гіпотеза базується на нерівномірному зношенні кільцевої опори по висоті, п'яти підбиралися з зношеннем кільцевої опори на якісному рівні. Для отримання більш широкого діапазону зношення п'яти на

п'ятах усували кільцеву опору за допомогою шліфування.

Крім того, підготовлювався комплект плунжерів у яких крім повної відсутності кільцевої опори були завальцований отвори гідростатичного підпору.

Це було обумовлено тим, що у вирваних п'ят із заробки плунжера при аварійній

відмові наблюдається така картина.

Дослідження проводяться на установці, представлений на рис. 3.4. Температурний режим роботи спряження «кільцева опора п'ята-похила шайба» при зношенні кільцевій опорі визначається за допомогою установки термопар

ХК ДСТУ 7164-2001, які працюють при надмірному тиску. Термопари підключали до потенціометру КСП-4.

Робочий слайд термопар розміщується на відстані 1,5...2 мм від робочої поверхні похилої шайби, безпосередньо поблизу з'єднання «п'ята плунжера-похила шайба» для визначення температури робочої рідини при роботі пари

тертя, в корпусі гідромотора в районі фіксації похилої шайби штифтом рис. 3.5.

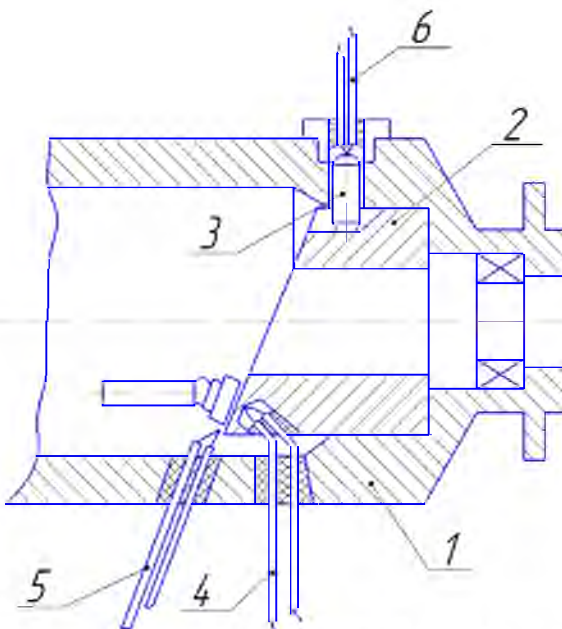
Таке розміщення термопар дозволяє контролювати температурний режим роботи спряження, температуру робочої рідини в зоні роботи пар тертя, а також температуру корпуса гідромотора. Дослідження проводилися при номінальному

тиску робочої рідини  $P_{\text{н}} = 21,0 \text{ МПа}$ .

НУБІ

НУБІ

НУБІ



НИ

НИ

УКРАЇНИ

Рис. 3.5. Схема установки термопар в гідромоторі: 1 – кориус  
гідромотора; 2 – похила шайба; 3 – штифт фіксації похилої шайби; 4 –  
термопара, яка контролює температуру в спряженні; 5 – термопара, яка  
контролює температуру робочої рідини в зоні пари теря, 6 - термопара,  
яка контролює температуру корпуса гідромотора.

НУБІП УКРАЇНИ

НУБІП УКРАЇНИ

НУБІП УКРАЇНИ

НУБІП УКРАЇНИ

## РОЗДЛ 4 РЕЗУЛЬТАТИ ЕКСПЕРИМЕНТАЛЬНИХ ДОСЛІДЖЕНЬ ТА ЇХ АНАЛІЗ

### 4.1. Характер і величини зношенння деталей плунжерної пари аксіально-поршневого гідронасоса

Існуючі теоретичні дослідження вказують на те, що зношенння деталей з'єднань катаючого вузла суттєво понижують працездатність гідронасосу і гідроприводу в цілому. В зв'язку з цим дослідження характеру і виду зношення деталей плунжерної пари катаючого вузла гідроагрегату є важливим етапом при проведенні експериментальних досліджень.

Для деталей гідроприводу характерні слідуючи види зношення: схватування металевих поверхонь, зношенння при фретінгу, гідрообразивні зношенння, контактне стомлення, спрацювання по механізму дисперсійних плівок і вторинних структур, які виникають на поверхні тертя, мікроцарапання в результаті мікронерівностей контратіл та ін.

Кожний із видів зношення має свою фізичну основу, яка обумовлюється конструктивними рішеннями, умовами експлуатації (надійність ковзання, контактні навантаження), а також фізико – механічними властивостями робочих поверхонь деталей.

Визначення характеру і величини зношення деталей фрикційного «втулка блока – плунжер» являється важливим етапом, так як ряд авторів вважають, що технічний стан катаючого вузла гідромашин може бути оцінений за допомогою такого параметру, як зазор в парі тертя «втулка блоку – плунжер», який обумовлює значні об'ємні витрати в катаючому вузлі насоса, що впливає на об'ємний ККД гідроприводу в цілому, а також на систему керування робочим об'ємом для регульованих аксіально-поршневих гідромашин.

Плунжер (матеріал Сталь  $ШХ - 15СГ$  ДСТУ 801-2008 твердість 52...56HRC) зношується по діаметру 20мм. Характер зношення плунжера

представлено на рис. 4.1.

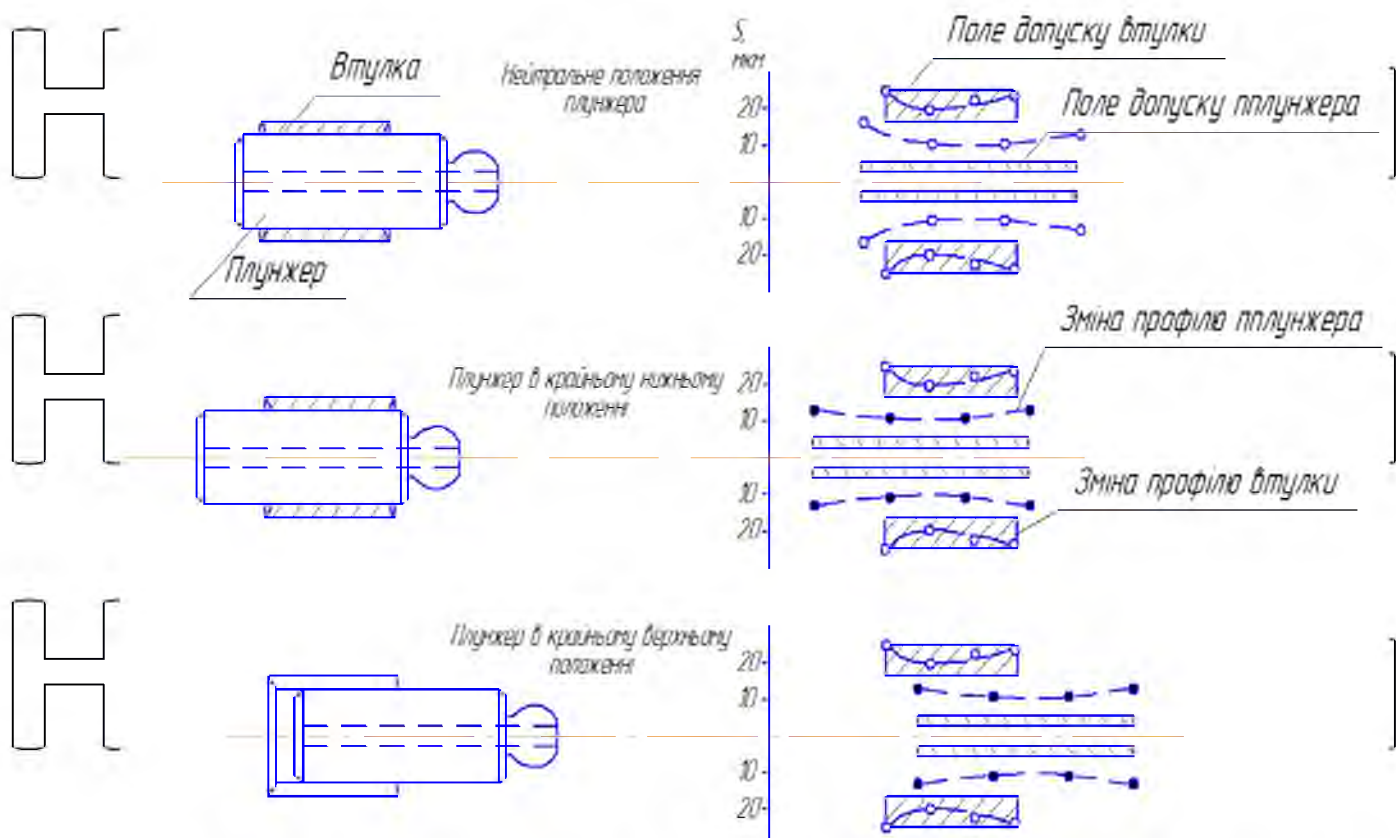


Рис. 4.1 - Характер зношення деталей спряження «втулка блока – плунжер»

Такий характер зношення плунжера обумовлюється його рухом в процесі роботи гідромашини. Плунжер має складний рух. Він виконує зворотно поступовий рух та обертовий. При досягненні ним верхньої і нижньої мертвих точок та за наявністю перекидного моменту, який виникає в результаті руху п'яти плунжера по похилій опорі, максимальне зношення деталей виникає в крайніх точках.

Загальний вид фотографії (рис. 4.2) підтверджує висновок про те, що вагомішим видом зношення плунжера є гідро-абразивний, про що свідчать продольні риски, натира характерні для виду зношення.



Рис. 4.2. Загальний вид зношення плунжера

Втулка блока (матеріал ДМІСКА58 – 2 – 2 – 1 – 1 ТУ 48–21–775–05, твердість  $HRC_e$  80) зношується в місцях контакту з плунжером, характер зношення якого наведено на рис. 4.

У втулки, як і у плунжера в більшій мірі зустрічається гідроабразивне зношення. Максимальне зношення втулки наблюдається в 1-му і 4-му перерізах і досягає 30...35 мкм.

Зношення деталей спряження «втулка – плунжер» в процесі експлуатації обумовлює збільшення зазору в парах тертя. Якщо по технічним умовам на виготовлення деталей даного спряження зазор повинен бути в межах 11 – 23 мкм

, то в умовах експлуатації середнє значення зазору досягає  $\bar{x} = 24,48 \text{ мкм}$ , при середньоквадратичному відхиленні  $S = 10,14 \text{ мкм}$  (рис. 4.3, додаток А) а максимальний зазор досягає  $\delta = 48 \text{ мкм}$ .

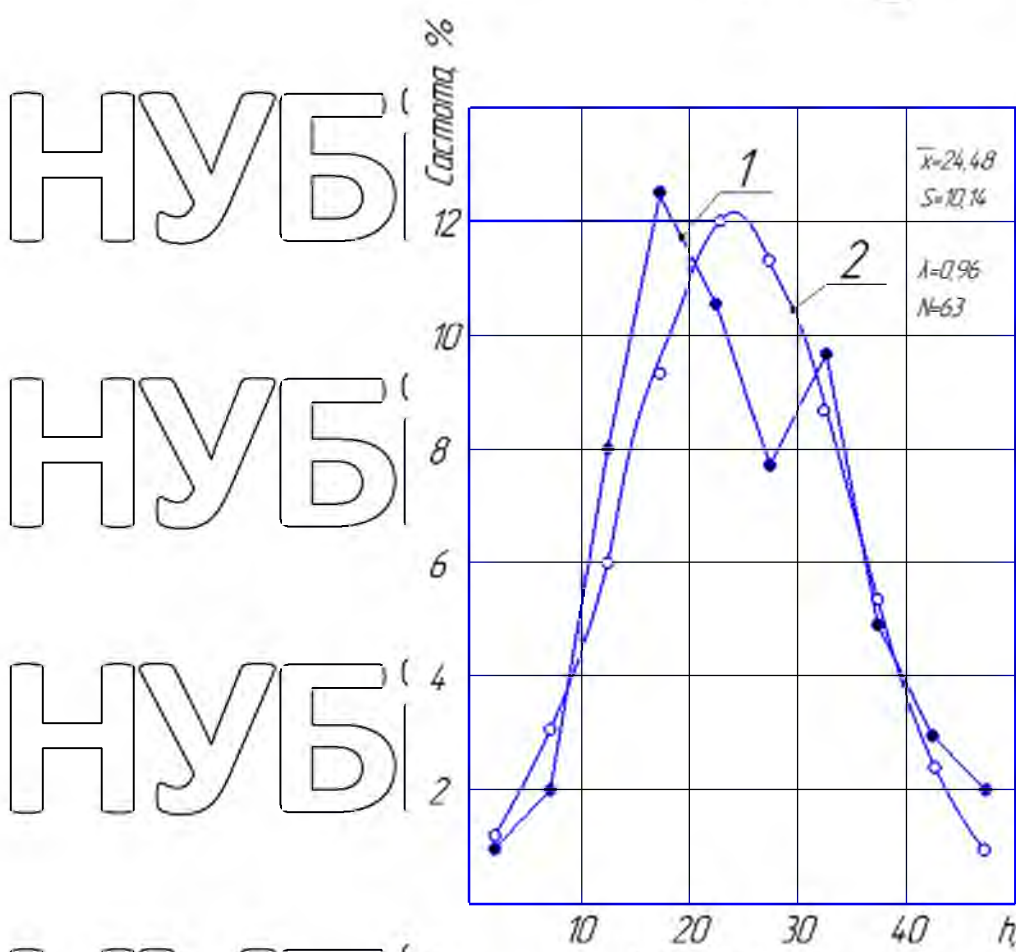


Рис. 4.3. Полігон розподілення зазору ( $\delta$ ) в спряженні «втулка блоку – плунжер». 1 – емпіричне розподілення, 2 – теоретичне розподілення.

Отримані значення максимального розміру зазору ( $\delta$ ) підтверджують необхідність проведення експериментальних досліджень з визначення об'ємних втрат в аксиально-поршневому гідронасосі, які обумовлюються даним структурним параметром.

В цілому, проведені дослідження характеру і виду зношення деталей спряження «втулка блока – плунжер» дозволяють зробити следуючі висновки: основним видом зношення деталей спряження «втулка блока – плунжер» є гідроабразивне значення.

- плунжер і втулка зношуються не рівномірно, що обумовлюється складним рухом плунжера та його переміщенням у втулці. Максимальне зношення втулки наблюдається в 1-му і 4-му перерізах і досягає  $30\dots35\text{ мкм}$ , середнє значення зазору досягає  $X = 24,48\text{ мкм}$ , при середньоквадратичному відхиленні  $S = 10,14\text{ мкм}$ , а максимальний зазор досягає  $\delta = 48\text{ мкм}$ .

Аналіз технічного стану п'яти плунжера та опори люльки гідронасоса теж вказав на присутність гідроабразивного зношення на їх робочих поверхнях (рис. 4.4. 4.5).



Рис.4.4. Загальний вид зношення



Рис.4.5. Загальний вид зношення похилої

п'яти плунжера

шайби

П'ята плунжера (матеріал ЛМСКА – 58 – 2 – 2 – 1 – 1 ГУ 48-21-775-05) зношується по кільцевій опорі на якій чітко проглядаються риски вільної глибини і профіліс, лінії розміри яких не має можливості визначити за

допомогою мікрометричного інструмента.

Таке зношення кільцевої опори пояснюється забрудненням робочої рідини. Абразивні частинки, які находяться в робочий рідини, втискаються в більш м'яку поверхню п'яти, які потім нарізають канали на похилій шайбі (рис.4.6).

Виникаючи таким чином риски і канали обумовлюють додаткові канали, які приводять до збільшення втрат робочої рідини, і як наслідок порушують плоскість між п'ятою і похилою шайбою. Виникнення останнього фактора приводить до прискореного зношення кільцевої опори. Мабуть це і пояснює той факт, що при розгляді технічного стану п'яти плунжера нам попадалися п'яти кільцева опора яких або має риски, або ж вона повністю зношена (рис.2.10) і практично відсутні п'яти з рівномірним зношеннем кільцевої опори. Прискорення зношення кільцевої опори обумовлює її повне змяття, після чого починається процес завальцовування отвору статичного підпору п'яти, що обумовлює різке збільшення перекидного моменту і обумовлює вишив п'яти із заробки плунжера (рис. 2.11). Проведені дослідження характеру і виду зношення кільцевої опори дозволяють зробити слідуючі висновки:

- переважним видом зношення кільцевої опори п'яти плунжера є гідроабразивне зношення, яке обумовлює виникнення рисок і каналів, які приводять до втрат робочої рідини і порушення плоскості між поверхнями тертя і прискореному зношенню опори;

- процес переходу до повного зношення п'яти і її виrivу проходить на завершенні стадії швидко і обумовлюється висотою кільцевої опори, которую можна застосувати як структурний параметр.

#### **4.2. Об'ємні втрати робочої рідини в спряженні «втулка блоку-плунжер»**

Залежність втрат робочої рідини від зазору в спряженні «втулка блоку-плунжер» ( $Q^e = f(\delta)$ ) отримана аналітично в підрозділі 2.3, із якої випливає, що витрати робочої рідини при максимальному ексцентриситеті плунжера в втулці

перевищують у 2,5 рази витрати при концентричному їх розміщенні. Крім того, для практичних розрахунків в якості структурного параметра необхідно приймати середнє зазору (між вхідним і вихідним значеннями).

В зв'язку з цим, отримання експериментальної залежності повинно логічно завершити наші дослідження по відношенню до плунжерної пари.

Результати дослідження, проведених по методиці, розглянутій в підрозділі 3.2, представлені в табл. 4.1 і на рис. 4.6.

Таблиця 4.1.

Значення втрат робочої рідини від зазору в спряженні «втулка блоку-

№ п/п	Середнє значення з а	плунжер» і тиску	
		Втрати робочої рідини, $\text{cm}^3/\text{s}$ при тиску	
		3,5 МПа	21,0 МПа

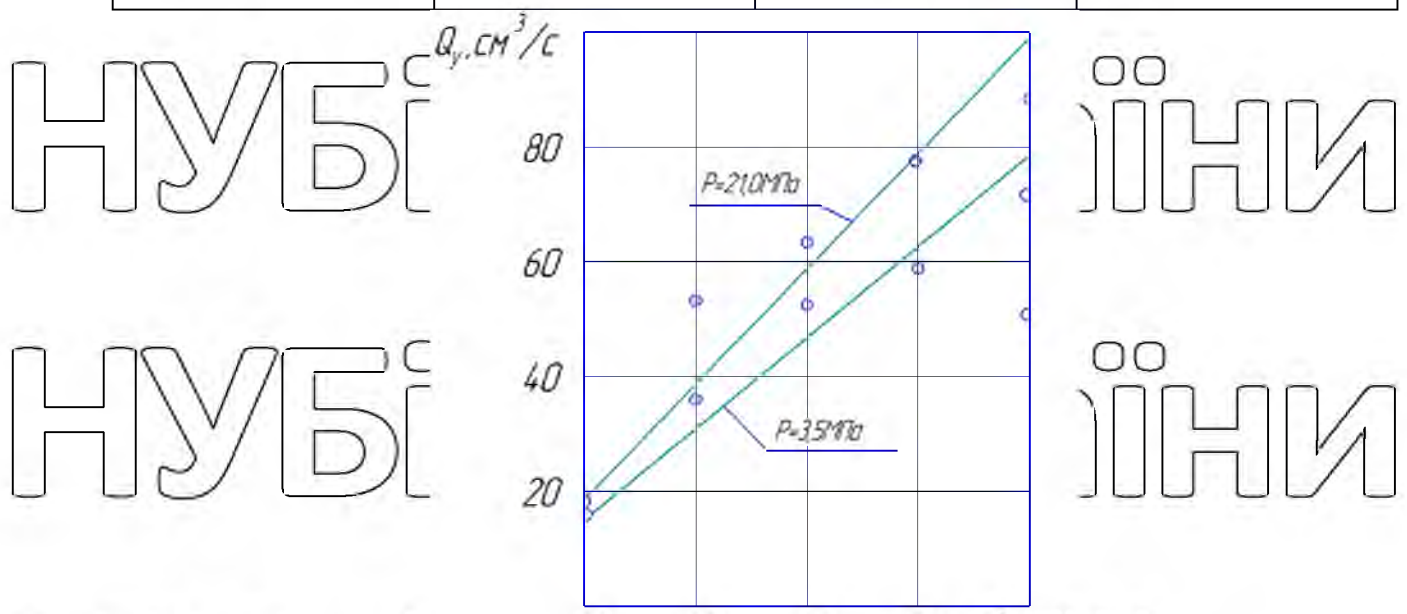


Рис. 4.6 Залежність втрат робочої рідини від зазору в спряженні «втулка блоку-плунжер» і тиску

Аналіз отриманих результатів показує, що при зазорі  $\delta = 60 \text{ мкм}$  втрати робочої рідини досягають  $87 \text{ см}^3/\text{с}$  (при  $P_h = 21,0 \text{ МПа}$ ), що суттєво не буде впливати на об'ємний ККД гідроприводу, так як часоспіживлення в змозі їх компенсувати.

Виходячи із аналізу результатів досліджень характеру та величини зношенні деталей спряжень «втулка блоку плунжер» діапазон робочих зношень дорівнює  $24 \dots 25 \text{ мкм}$ , максимальне зношення становить  $48 \text{ мкм}$ , з чого можна зробити висновок, що зношення даної пари тертя в основному доповнює сумарні об'ємні втрати робочої рідини, які обумовлюються зношеннем інших спряжень

качачого вузла насоса. Це дає основу для введення розширеніх ремонтних допусків на зазор в спряженні «втулка блоку плунжер».

Розходження розрахункового значення втрат робочої рідини з врахуванням середнього зазору, над фактичним не дозволяє застосувати отримані вирази для визначення взаємозв'язку між середнім значенням зазору в спряженні і втратами робочої рідини для різних значень зазору, які залежать від наробітку гідромашини.

Невідповідність даних результатів підтверджується і в роботі [29]. Очевидним, що при деяких умовах і в частості високих перепадах тиску ( $P_h = 21,0 \text{ МПа}, P_{\max} = 35,0 \text{ МПа}$ ), необхідно вводити поправки, які враховують можливість появи конусності шілинини, зміну вязкості, а також деформації деталей.

Таким чином проведені дослідження взаємозв'язку між зазором в спряженні «втулка блоку-плунжер» і витоками робочої рідини дозволяють зробити наступні висновки:

Розходження розрахункового значення втрат робочої рідини з врахуванням середнього зазору, над фактичним не дозволяє застосувати розглянутий вираз в аналітичних дослідженнях для визначення взаємозв'язку між середнім значенням зазору в спряженні і втратами робочої рідини для різних значень зазору, які залежать від наробітку гідромашини.

2. Експериментально отримані результати показують, що при зазорі в спряженні «втулка блоку-плунжер» -  $\delta = 60 \mu\text{m}$  втрати робочої рідини досягають  $87 \text{ cm}^3/\text{s}$  (при  $P_h = 1.0 \text{ MPa}$ ), що суттєво не буде впливати на об'ємний ККД гідроприводу, так як насос підживлення в змозі їх компенсувати.

3. Втрати робочої рідини, обумовлені зношеннем деталей спряження «втулка блоку-плунжер» в діапазоні робочих спрацювань  $24...25 \mu\text{m}$  (які найбільш частіше виникають в умовах експлуатації) не обмежують роботоздатність плунжерної пари, а лише доповнюють сумарні об'ємні втрати, що дає основу для введення розширеных ремонтних допусків на зазор в спряженні «втулка блоку-плунжер».

#### **4.3. Вплив зношення кільцевої опори п'яти плунжера на температурний режим роботи качаючого вузла**

Аналітичні дослідження, проведені в підрозділі 2.4, показали, що нерівномірне зношення кільцевої опори п'яти плунжера збільшує механічні втрати, які обумовлюються зміною умов її роботи, переходом від рідинного до граничного і сухого тертя. Цей переход супроводжується ростом температурного

режimu роботи спряження «кільцева опора п'яти – похила шайба (опора люльки)».

Для підтвердження цієї робочої гіпотези були проведені дослідження по методиці, розглянутій в підрозділі 3.3, які дозволили визначити взаємозв'язок

між зношеннем кільцевої опори п'яти і температурним режимом пари тертя «кільцева опора п'яти – похила шайба». Результати дослідження представлені в (додатку Б), а графічно дана залежність наведена на рис. 4.7.

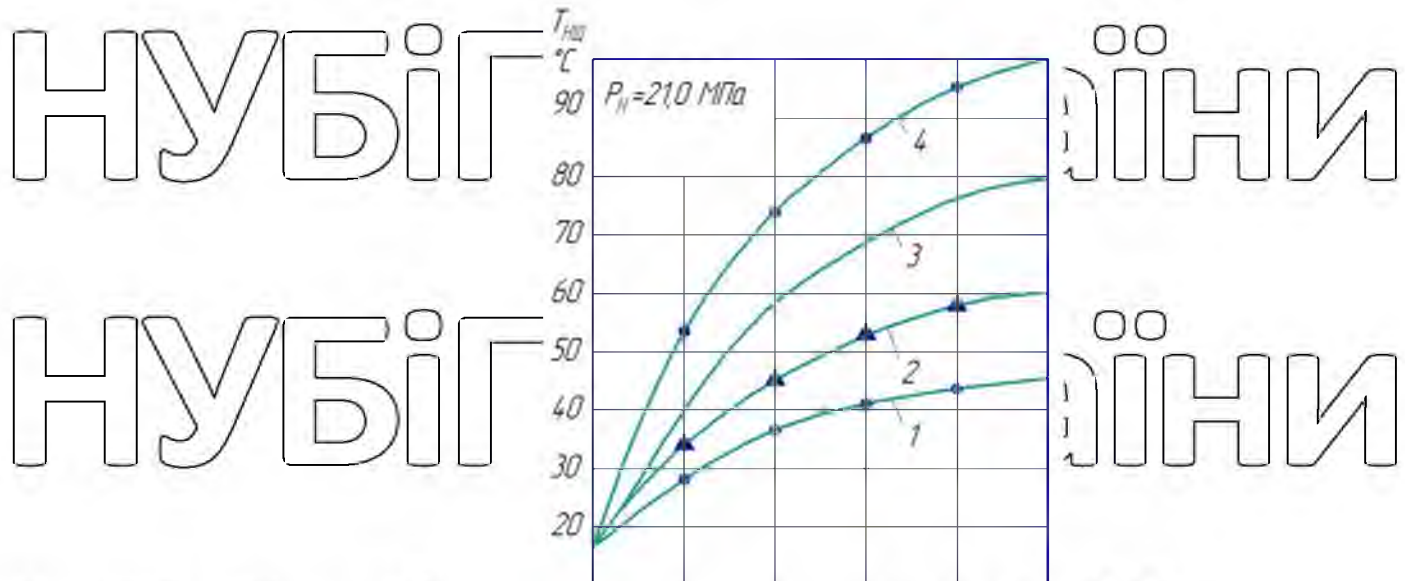


Рис. 4.7. Вплив зношення кільцевої опори п'яти плунжера на динаміку температури похилої шайби в залежності від тривалості роботи:

1 - п'ята плунжера нова; 2 - чотири плунжера мають завальцовани отвори гідростатичного підпору; 3 - кільцева опора всіх п'ят плунжера повністю зношена; 4 - кільцева опора всіх п'ят плунжера повністю зношена, отвори гідростатичного підпору завальцовани

Із аналізу графічної частини рис. 4.7. видно, що при навантаженні

гідроприводу ~~немінальним~~ тиском ( $P_H = 21,0 \text{ МПа}$ ) інтенсивність збільшення температури похилої шайби суттєво залежить від стану кільцевої опори ~~п'яти~~.

При роботі під навантаженням впродовж  $t = 5 \text{ хв}$  температура похилої шайби при збільшенні міри зносу кільцевої опори п'яти змінюється від кільцевої

$T_{n.u} = 45^{\circ}\text{C}$  до  $T_{n.u} = 95^{\circ}\text{C}$ .

В процесі роботи при ~~не зношений~~ кільцевій опорі між парами тертя відбувається рідинне тертя. Про це свідчить температура похилої шайби, яка для

даного технічного стану кільцевої опори п'яти незначна  $T_{n.u} = 45^{\circ}\text{C}$ , так як в

даному випадку працює гідростатичний підшипник.

Подальше зношення кільцевої опори приводить до росту температури похилої шайби  $T_{n.u} = 50...60^{\circ}\text{C}$ , що підтверджує гіпотезу про порушення робочо-

гідростатичного підшипника п'яти і вказує на появу в парі тертя дільниць, які працюють в умовах граничного тертя.

Поява дільниць з елементами граничного маніжня і рост температурного режиму пари тертя обумовлює процес змяття кільцевої опори по всій поверхні, що приводить до завальцовування отвору статичного підпору в п'яті. Температура

походи шайби для даного випадку перевищує  $T_{n.u} = 100^{\circ}\text{C}$ .

Продовження експлуатації п'ят плунжерів з завальцованими отворами статичного підпору приводить до руйнування п'яти або її вириву. В обох випадках це приводить до аварійної відмови гідроагрегату та гідроприводу в цілому. Проведені експериментальні дослідження підтвердили аналітичні і дозволяють зробити наступні висновки:

1. Зношення кільцевої опори п'яти плунжера по висоті в більшій мірі впливає на механічні втрати, про що свідчить температурний режим роботи пари

тертя, який знаходиться в межах від  $T_{n.u} = 40...45^{\circ}\text{C}$  для не зношеної кільцевої опори і більше  $T_{n.u} = 100^{\circ}\text{C}$  для зношеної опори з завальцованими отворами статичного підпору при номінальному режимі роботи аксіально-поршневого гідромотора.

2. Тривала експлуатація п'яти плунжера зі зношеною кільцевою опорою приводить до аварійної відмови гідроагрегату та гідроприводу в цілому із-за вириву п'яти із заробки плунжера, який важко спрогнозувати, що потребує жорсткого контролю технічного стану п'яти плунжера.

# НОВИЙ УКРАЇНИ

## РОЗДІЛ 5 ТЕХНІКО-ЕКОНОМІЧНА ОЦІНКА РЕЗУЛЬТАТІВ ДОСЛІДЖЕНЬ

Складовими техніко-економічної ефективності при експлуатації і ремонті агрегатів гідравлічних трансмісій, за рахунок впровадження конструктивних змін в результаті моделювання процесів в плунжерних парах, являється збільшення ресурсу, ефект від економії вузлів та деталей, які конструктивно доповнюються і впроваджуються у ремонтному виробництві при поступанні агрегатів гідростатичної трансмісії на ремонт.

Економічна оцінка проектних рішень розраховується з врахуванням зменшення витрат на ремонт деталей кінцевого вузла аксиально-поршневої гідромашини за рахунок підвищення довготривалості роботи деталей спряження «втулка блоку - плунжер» на основі моделювання процесів в плунжерних парах.

Їх впровадження в технологічний процес потребує удосконалення технології і організації виробничого процесу з метою ремонту агрегатів гідравлічних трансмісій, а оцінка ефективності буде визначатися на основі показників роботи сервісного центру з технічного сервісу гідравлічних агрегатів.

За результатами проведених досліджень рекомендується провести технологічне передснащення сервісного підрозділу з ремонту агрегатів гідравлічних трансмісій мобільних машин. Для впровадження розробленої технології необхідно придбати основне обладнання яке наводиться в табл. 5.1.

Таблиця 5.1.

### Марка та вартість основного обладнання

№ п/п	Найменування обладнання	Тип, марка	К-ть	Вартість, грн.
1	Прес для виготовлення деталей	Власн. Вил.	1	22 000
2	Розточний верстат	УРБ-ВП	1	10 000
3	Оснастка технологічна	ОРГ - 1549	1	5 000

### Всього

300 35 000

Вихідні данні для обґрунтування економічної ефективності роботи наведені в таблиці 5.2.

Таблиця 5.2.

Показники	Значення показників	
	базові	проектні
Річна програма ремонту, шт.	100	150
Кількість слюсарів-ремонтників, осіб	1	2
Середньомісячна заробітна плата робітника, грн.	5000	5000
Вартість діючого обладнання для проведення ремонту, грн.	280000	-
Вартість придбаного обладнання, грн.	-	60000
Річні витрати електроенергії, кВт/год	34000	41000
Ціна 1 кВт/год. електроенергії, грн.	1,96	1,96
Вартість одного ремонту, грн.	3500	3500

Для проведення економічної оцінки роботи необхідно визначити наступні показники

### 1. Вартість проведених поточних ремонтів.

Вартість проведених поточних ремонтів розраховується з врахуванням річної програми поточних ремонтів та вартості одного ремонту за виразом:

$$B_p = \eta \cdot B_{op},$$

(5.1.)

де  $\eta^B, \eta^P$  - відповідно базова і проектна річна програма поточного ремонту

$$(\eta^B = 100 \text{ рем.}, \eta^P = 150 \text{ рем.});$$

$B_{op}$  - вартість одного ремонту, грн.;

$$B_p^B = 100 \cdot 3500 = 350000 \text{ грн.}$$

$$B_p^P = 150 \cdot 3500 = 525000 \text{ грн.}$$

### 2. Експлуатаційні витрати (ЕВ) визначаються за виразом:

$$EV = ЗП + A + B_{ел} + B_{прац} + IB,$$

(5.2.)

де ЗП – заробітна плата з нарахуванням, грн.;

$A$  – амортизаційні відрахування, грн.;

$B_{ел}$  – вартість електроенергії, грн.;

$B_{прац}$  – витрати на поточний ремонт та технічне обслуговування

приміщення та обладнання, грн.;

$IB$  – інші витрати складають 3% від загальної суми експлуатаційних

витрат, грн.

Заробітна плата основних робочих для базового і проектного варіанту з нарахуваннями визначається за виразом:

$$ЗП = ЗП_{CP} \cdot K_{PP} \cdot 12 + ЗП_H, \quad (5.3.)$$

де  $ЗП_{CP}$  - середньомісячна заробітна плата робітника, грн.

**НУБІП України**  
 $(ЗП_{CP}^B + ЗП_{CP}^P = 5000 \text{ грн.});$   
 $K_{PP}$  - кількість основних робітників, чол. (для базового варіанту

$K_{PP}^B = 1 \text{ чол.},$  для проектного варіанту  $K_{PP}^P = 2 \text{ чол.});$

$ЗП_H$  - нарахування на зарплату, грн. ( $ЗП_H = 0,22 \cdot ЗП$ ).

**НУБІП України**  
 $ЗП_H^B = 5000 \cdot 1 \cdot 12 = 60000,0 \text{ грн.}$   
 $ЗП_H^P = 5000 \cdot 2 \cdot 12 = 120000,0 \text{ грн.}$

Відповідно нарахування на зарплату визначається:

$$ЗП_H^B = 0,22 \cdot 60000 = 13200,0 \text{ грн.}$$

$$ЗП_H^P = 0,22 \cdot 120000,0 = 26400,0 \text{ грн.}$$

Тоді заробітна плата з нарахуваннями буде становити:

$$ЗП^B = 60000 + 13200,0 = 73200,0 \text{ грн.}$$

$$ЗП^P = 120000,0 + 26400,0 = 146400,0 \text{ грн.}$$

**НУБІП України**  
Амортизаційні відрахування включають в себе витрати на амортизацію обладнання і приміщення.

Витрати на амортизацію обладнання розраховуються за формулою:

$$A_{OB} = \frac{B_{OB} \cdot H_A}{100}, \quad (5.4.)$$

**НУБІП України**  
де  $B_{OB}$  - балансова вартість обладнання, грн. (для базового варіанта  $B_{OB} = 280000 \text{ грн.};$  проектного  $B_{OB}^P = B_{OB}^P + B_{OB}^B = 60000 + 280000 = 340000 \text{ грн.});$

$H_A$  - норма амортизації, % ( $H_A = 21,93\%$ ).

**НУБІП України**

**НУБІП України**

$$\text{Витрати на амортизацію будівлі визначаються за формулою:}$$

$$A_{OB}^P = \frac{B_{OB} \cdot H_F}{100} = 61404,0 \text{ грн.}$$

$$A_{OB}^P = \frac{340000 \cdot 21,93}{100} = 74562,0 \text{ грн}$$

Витрати на амортизацію будівлі визначаються за формулою:

**НУБІП України**

де  $B_{OB}$  – балансова вартість будівлі, грн. ( $B_F = 950000$  грн., як для базового так і для проектного варіанту);

**НУБІП України**

нормативний коефіцієнт амортизаційних відрахувань на приміщення,  
 $H_F = 7,76\%$ .

Тоді

$$A_B = \frac{950000 \cdot 7,76}{100} = 73720,0 \text{ грн.}$$

**НУБІП України**

Загальна вартість амортизаційних відрахувань складе:

Тоді

$$A = A_{OB} + A_B,$$

для базового варіанту

**НУБІП України**

і проектного

$$A^P = 61404,0 + 73720,0 = 135124,0 \text{ грн.},$$

$$A^P = 74562,0 + 73720,0 = 148282,0 \text{ грн.},$$

Витрати на електроенергію визначаються, виходячи із загальної потужності обладнання і часу його роботи на рік, а також потужності освітлювальних пристрій, які працюють на протязі всього робочого дня за виразом:

$$B_{EL} = Q_{EL} \cdot \Pi_{EL}, \quad (5.7.)$$

де  $Q_{EL}$  - річні витрати електроенергії,  $\text{kVt}/\text{год}$ . (для базового варіанту  $Q_{EL}^B = 34000 \text{ kWt}/\text{год}$ , для проектного варіанту  $Q_{EL}^P = 41000 \text{ kWt}/\text{год}$ );

**НУБІП України**

$\Pi_{EL}$  – ціна 1  $\text{kWt}/\text{год}$  електроенергії, грн. ( $P_{EL} = 1,96 \text{ грн.}$ ).

**НУБІП України**

Витрати ( $B_{PEM}$ ) на поточний ремонт (ПТ) та технічне обслуговування (ТО)

$$B_{EL}^E = 34000 \cdot 1,96 = 66640,0 \text{ грн.}$$

$$B_{EL}^P = 41000 \cdot 1,96 = 80360,0 \text{ грн.}$$

складають 30% від суми амортизаційних відрахувань і визначаються за виразом:

**НУБІП України**

Тоді

$$R_{rem} = \frac{4 \cdot 30}{100},$$

$$B_{rem}^E = \frac{135124,0 \cdot 30}{100} = 40537,2 \text{ грн}$$

**НУБІП України**

Інші витрати (ІВ) включають в себе витрати на епецодяг, інструменти, заходи з охорони праці, протипожежні заходи і складають 3% від загальної суми експлуатаційних витрат:

**НУБІП України**

$IB = \frac{(3П + A + B_{EL} + B_{PEM}) \cdot 3}{100}$

$$IB^E = \frac{(73200,0 + 135124,0 + 66640,0 + 40537,2) \cdot 3}{100} = 9465,0 \text{ грн.}$$

$$IB^P = \frac{(146400,0 + 148282,0 + 80360,0 + 44484,6) \cdot 3}{100} = 12585,8 \text{ грн.}$$

**НУБІП України**

Тоді експлуатаційні витрати згідно виразу (5.2.) складуть:

$$EB^E = 3П + A + B_{EL} + B_{PEM} + IB,$$

$$EB^E = 73200,0 + 135124,0 + 66640,0 + 40537,2 + 9465,0 = 324966,2 \text{ грн.}$$

$$EB^P = 146400,0 + 148282,0 + 80360,0 + 44484,6 + 12585,8 = 432112,4 \text{ грн.}$$

**НУБІП України**

3. Повна собівартість (ПС) проведених ремонтів визначається за виразом:

$$ПС = EB \cdot 1,02,$$

$$ПС^E = 324966,2 \cdot 1,02 = 331465,5 \text{ грн.}$$

**НУБІП України**

4. Загальний прибуток (П) визначається за виразом:

$$П = B_{IP} - ПС.$$

**НУБІП України**

$\Pi^B = 350000 - 331465,5 = 18534,5 \text{ грн.}$

$\Pi^P = 525000 - 440754,7 = 84245,3 \text{ грн.}$

5. Рівень рентабельності ( $P$ ) буде дорівнювати:

$$P = \frac{\Pi}{PC} \cdot 100\%, \quad (5.12.)$$

**НУБІП України**

$P^B = \frac{18534,5}{331465,5} \cdot 100\% = 5,6\%$

$P^P = \frac{84245,3}{440754,7} \cdot 100\% = 19,1\%$

6. Додаткові капітальні вкладення (Б) визначаться:

**НУБІП України**

$B = B_{IP} - B_d,$  (5.13.)

де  $B_{IP}$  – вартість обладнання придбаного і діючого, грн. ( $B_{IP} = 340000 \text{ грн.}$ );

$B_d$  – вартість діючого обладнання, грн. ( $B_d = 280000 \text{ грн.}$ ).

**НУБІП України**

$B = 340000 - 280000 = 60000 \text{ грн.}$

7. Річний економічний ефект ( $E_p$ ) визначиться за виразом:

$$E_p = \Pi^P - \Pi^B, \quad (5.14.)$$

$$E_p = 84245,3 - 18534,5 = 65710,8 \text{ грн.}$$

**НУБІП України**

8. Термін окупності додаткових вкладень ( $T_o$ ) буде дорівнювати:

$T_o = \frac{B}{E_p},$  (5.15.)

$$T_o = \frac{60000}{65710,8} = 0,9 \text{ року}$$

**НУБІП України**

Основні результати розрахунку представлені в таблиці 5.3.

Таблиця 5.3.

Показники	Техніко-економічні показники впроваджуваного проекту	
	Базовий	Проектний

	варіант Поточн. ремонт 100	варіант Поточн. ремонт 150
Вид робіт		
Обсяг робіт, од.	100	150
Кількість основних робітників, осіб	1	2
Обсяг додаткових капіталовкладень, грн.	-	60000
Експлуатаційні витрати всього, грн.: заробітна плата з нарахуваннями, грн.	324966,2 73200,0	432112,4 146400,0
- амортизаційні відрахування, грн.	135124,0	148282,0
- вартість електроенергії, грн.	66640,0	80360,0
- витрати на ГР та ТО, грн.	40537,2	44484,6
- інші витрати, грн.	9465,0	12585,8
Повна собівартість продукції, грн.	331465,5	440754,7
Загальний прибуток, грн.	18534,5	84245,3
Річний економічний ефект, грн.	-	65710,8
Термін окупності додаткових вкладень, років	-	0,9

Висновок. Проведені розрахунки техніко-економічної ефективності показують, що при впровадженні конструктивних змін в процесі ремонту аксіально-поршневих гідромашин збільшується річна програма ремонту на 50

агрегатів, рівень рентабельності складе 19,1 %, річний економічний ефект

становить 65710,8 грн, а термін окупності матеріальних затрат 0,9 року, що вказує на доцільність проведених досліджень.

## РОЗДІЛ 6 ОХОРОНА ПРАЦІ ТА БЕЗПЕКА В НАДЗВИЧАЙНИХ СИТУАЦІЯХ

# НУБІП України

## 6.1. Охорона праці при обслуговуванні аксіальних поршневих насосів

Відповідно до «Технічного регламенту безпеки машин та устаткування» [30], машини повинні розроблятися і вироблятися придатними до застосування за призначенням та такими, щоб під час встановлення, налагодження, експлуатації та обслуговування згідно з умовами, визначеними виробником, а також з урахуванням можливості застосування не за призначенням, вони не створювали небезпеки для персоналу та інших осіб.

Для забезпечення безпеки при моделюванні процесів в плунжерних парах проведемо ідентифікацію шкідливих і небезпечних виробничих факторів. До них можна віднести: мікрокліматичні умови прямічення, у якому здійснюється обслуговування, ремонт або моделювання процесів плунжерних пар, високі температури поверхні плунжерних пар, високий тиск всередині пар, пожежна та хімічна небезпека використовуваних ПММ та домішок до них, шум та вібрація, відкриті обертові частини машин та обладнання, насиченість повітря робочої зони парами дивельного палива та ін.

З метою запобігання впливу на робітника виявлених шкідливих та небезпечних виробничих чинників перед початком робіт він забезпечується

засобами індивідуального захисту. Перш за все це: сід одяг (ГОСТ 12.4.109 [31]); фартух хлорвініловий (ГОСТ 12.4.029 [32]); нарукавники хлорвінілові (ТУ 17.06-7386); чоботи сумові (ГОСТ 12.265 [33]); рукавиці комбіновані (ГОСТ 12.4.010 [34]); перчатки резинові (ТУ 38-106466). Для

захисту очей застосовуються окуляри відповідно до вимог ГОСТ 12.4.013-85 [35].

Перед початком робіт на робочому місці (дослідному стенді) приираються зайві речі, перевіряється достатність освітлення робочого місця, яка повинна становити не менш 150 люксів.

До роботи з моделювання процесів в плунжерних парах допускаються особи, добре знають їх будову і пройшли інструктаж з охорони праці. Моделювання процесів в плунжерних парах здійснюється відповідно до

розробленої технології моделювання з урахуванням вимог безпеки. Працюючий стенд не залишається без нагляду.

Для недопущення виникнення пожеж та травмування через падіння не допускається розлив мастик та палива на підлогу. Регулювання плунжерних пар здійснюється у вимкненому стані. Спостереження за справністю та надійністю

кріплення шлангів на стенді, що мають гідравлічні та пневматичні пристрої, буде запобігати їх розриву, потраплянню шкідливих речовин у повітря. Для кріплення шлангів на штуцерах застосовуються стяжні хомути (бандажі).

Система вентиляції, передбачена в приміщенні, забезпечує надійне відемоктування вихлопних газів досліджуваних плунжерних пар і забезпечує необхідне надходження свіжого повітря.

Імітація забезпечується засобами пожежогасіння (вуглевислотним вогнегасником ВВК-2, який розташовується на видному доступному.

Для запобігання опіків відкритих ділянок тіла через контакт з нагрітими частинами плунжерних пар на видному місці коло стенду наводиться попереджуючий надпис «Увага, гарячі поверхні!»

## 5.2. Забезпечення безпеки при моделюванні процесів в плунжерних

**парах, пов'язаних із застосуванням ПММ і спецрідин**  
Під час моделювання процесів в плунжерних парах, пов'язаних із застосуванням ПММ і спецрідин, можуть бути такі основні небезпечні та шкідливі виробничі чинники:

- витік палива з трубопроводів, паливних рукавів і обладнання, що перебуває під тиском;
- підвищене ковзання (унаслідок замашення покриттів, якими переміщується обслуговувальний персонал);
- підвищена загазованість парами нафтопродуктів у робочих зонах;

- підвищена або знижена температура поверхонь обладнання;
- підвищений рівень статичної електрики;

➤ ударна хвиля, висока температура (під час вибуху або пожежі пароповітряної суміші);  
 ➤ підвищений рівень шуму, вібрації;  
 ➤ нестача природного освітлення;

➤ недостатня освітленість робочої зони;  
 ➤ небезпечні та шкідливі хімічні речовини, що входять до складу ПММ і спецрідин.

При застосуванні ПММ і спецрідин та моделюванні процесів в

плунжерних парах, дотримуються вимог ГОСТ 12.3.002-75 "ССБТ. Процессы

производственные. Общие требования безопасности" [36] та перевіряється

відповідність стенду для моделювання на відповідність ГОСТ 12.2.003-91

"ССБТ. Оборудование производственное. Общие требования безопасности" [37].

Перевіряється відповідність температури, відносної вологості, швидкості

руху повітря та вміст шкідливих речовин у повітрі робочої зони виробничих

приміщень вимогам ГОСТ 12.1.005-88 [38], ДСН 3.3.6.042-99 [39].

У зонах, де можливе скупчення горючих парів і газів, використовуються

інструменти, що не утворюють іскор від удара та статичної електрики. Пил зі

стенду знімається лише за допомогою ганчір'я із бавовняної тканини, синтетичні

тканини не застосовуються.

За недостатньої вентиляції приміщення влаштовують примусове

провітрювання приміщення шляхом провітрювання через віконні та дверні

отвори. Розрахунок повіtroобміну приміщення наводиться у п. 5.3.

Під час зберігання в закритому складі ПММ з ними не зберігаються інші

речовини, що можуть утворювати із ними вибухонебезпечні суміші. Порожні

смости з-під ПММ зберігаються окремо у спеціально відведеніх приміщеннях

із щільно закритими пробками.

На робочих місцях в дослідній лабораторії де ведеться моделювання

процесів в плунжерних парах вивішується інструкції, плакати та

попереджувальні написи про дотримання вимог безпеки під час роботи зі

стендом та ПММ.

# НУБІП України

## 6.3. Розрахунок повітродобміну лабораторії з дослідження надійності аксіально-поршневих гідромашин

Необхідно визначити витрату припливного повітря в приміщенні лабораторії з дослідження надійності аксіально-поршневих гідромашин та

моделювання процесів в плунжерних парах з наступними вихідними даними: кількість стендів для моделювання процесів в плунжерних парах - 1, площа приміщення -  $32 \text{ м}^2$ , об'єм приміщення  $96 \text{ м}^3$ , концентрація шкідливих речовин

у повітрі  $g_0 = 0,75 \text{ г / м}^3$ . У цей момент у приміщенні починає діяти джерело

виділення шкідливих речовин постійної продуктивності (лабораторний стенд з моделювання)  $M_c = 123 \text{ мг / год}$ , час, потрібний для проведення дослідження 2 години, кількість  $CO_2$  від дихання людини  $M_l = 30 \text{ мг / год}$ , гранично

допустима концентрація  $CO_2$  дорівнює  $1,5 \text{ г / м}^3$ .

$$g_\phi = \frac{M \cdot N}{V} + g_0 \quad (6.1.)$$

Визначимо фактичну концентрацію за формулою [40]:

де  $M$  – продуктивність джерела шкідливих речовин,  $\text{г / год}$ ;

$N$  – час, що потрібний для дослідження,  $\text{год.}$ ;

$V$  – об'єм робочого приміщення,  $\text{м}^3$ ;

$g_0$  – початкова концентрація шкідливих речовин в повітрі робочого

приміщення,  $\text{г / м}^3$ .

$$g_\phi = \frac{(0,123 + 0,030)2}{96} + 0,75 = 0,754 \text{ г / м}^3$$

Фактична концентрація за час дослідження не буде перевищувати ГДК:

$g_\phi = 0,754 \text{ г / м}^3 > g_{\text{здк}} = 1,5 \text{ г / м}^3$ , отже в приміщенні можна буде обмежитися

природним повітродобміном.

Визначасмо необхідний мінімальний повітродобімін.

Якщо використовуватимемо вимогу дотримання необхідної кратності

повітробімічу в годину, а кратність для лабораторій повинна бути не менше 10-го повітробімічу в годину, то набудемо наступного значення витрати повітря

$$Q = 10 \cdot 96 \text{ (} m^3/\text{год}\text{)} = 960 \text{ } m^3/\text{год}$$

Для видалення такої кількості повітря з приміщення доцільно застосувати вентилятор

Типове рішення вентиляції для ультравакуумної лабораторії, в якій проводяться роботи з моделюванням процесів в плунжерних парах аксиально-поршневих гідромашин, представлене на рис. 5.1.

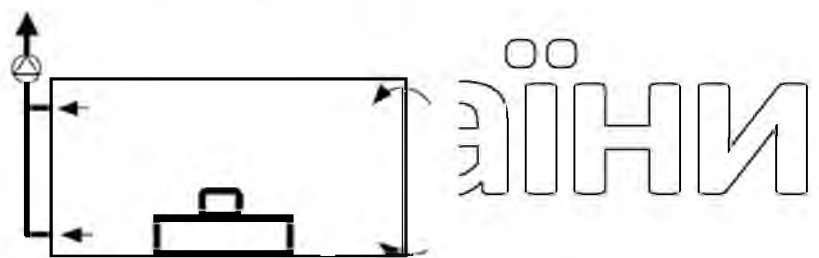


Рис. 6.1 Схема вентиляції для приміщення

Свіже повітря поступає через отвори в зовнішній стіні. Забруднене повітря видаляється через вентиляційні отвори внутрішніх вентиляційних каналів будівлі за допомогою вентилятора ВК 250. Габаритні розміри та креслення загального виду вентилятора ВК 250 наводяться на рис.5.2.



Тип	Витрата, $m^3/\text{год}$	D, $mm$	D, $mm$	c, $mm$	A, $mm$	B, $mm$	Вага, кг
ВК 250	1080	250	340	264	30	30	4,5

Рис. 6.2. Габаритні розміри та креслення загального виду вентилятора ВК 250

## ВИСНОВКИ

1/ Відносні механічні втрати потужності в парі «поршень-втулка» прямо

пропорційно залежать від таких параметрів як: робочий об'єм насоса, частота обертання валу, зазору в спряженні, а також довжини плунжера (та його частини, що постійно знаходиться в контакті з втулкою блоку) при поступово-зворотному русі та технічного стану робочої рідини (в'язкість). До параметрів, які мають обернено-пропорційний вплив слід віднести діаметр поршня, так як з його збільшенням зменшується питомі навантаження в місцях контакту поршня з втулкою, що обумовлює зменшення механічних втрат. Але при цьому необхідно врахувати, що геометричні розміри поршня, обумовлюються в цілому геометричними розмірами гіdraulічної машини

2. Об'ємні втрати робочої рідини в гідромашині обумовлюють такі структурні параметри, як зазор в спряженні «поршень-втулка блоку», діаметр поршня та його робоча довжина, яка знаходиться постійно в втулці, а також конструктивно-функціональні параметри до яких слід віднести робочий об'єм гідронасоса, тиск робочої рідини в гідронасосі, в'язкість мастила та інші.

3. На основі закладених конструктивних положень та вихідних параметрів, математичний образ аксіально-поршневого гідронасоса можна відтворити, забезпечуючи можливість синтезу його оптимальних конструктивних параметрів реальної гідромашини, яка відповідає всім пред'явленим до неї техніко-економічним вимогам.

4. Рішення задачі синтезу оптимальних параметрів конструкцій з врахуванням вимог уніфікації на прикладі мінімізації габаритних розмірів аксіально-поршневого гідронасоса, показують, що застосування запропонованих методик для проектування складових аксіально-поршневих гідронасосів дозволяє зменшити втрати потужності в насосах у порівнянні з досягнутим рівнем на 30...40% та габаритні розміри на 10...15%.

5. У якості структурного параметра технічного стану деталей спряження «втулка блоку – плунжер» слід вважати середнє значення зазору оскільки

плунжер розташовується у втулці з перекосом і обумовлює нерівномірне зношування втулки.

6. Для одержання точної оцінки граничного значення зазору і частки

витоків робочої рідини, яка обумовлюється зношуванням деталей спряження «втулка блоку – плунжер» необхідно провести експериментальне дослідження взаємозв'язку між зазором і витоками робочої рідини, а також визнайти динаміку зазору.

7. Аналіз сил, що діють на п'яту і плунжер, а також технічного стану

кільцевої опори п'яти плунжера, показав, що ріст її зношування порушує аксіальну жорсткість гідростатичного підшипника і супроводжується непаралельністю між поверхнями тертя, що призводить до зміни умов роботи з'єднання, переходом від рідинного тертя через граничне до сухого і завершується аварійною відмовою через виривши а п'яти із заклинення плунжера.

8. Зменшення кількості аварійних відмов, обумовлених заклинованням

плунжера в втулці блока, можливе за рахунок конструктивних змін втулки блока, що дозволить зменшити дію сил в зоні контакту плунжера зі втулкою при його

перекосі за рахунок гасіння вібраційних навантажень та потягнання ударних.

Розроблення методик проведення мікрометражу деталей катаючого вузла аксіально-поршневої гідромашини, забезпечує якісне проведення їх технічного стану і зменшує трудомісткість дефектувальних робіт, що являється актуальним

для спеціалізованих підрозділів з технічного сервісу гіdraulічних агрегатів.

10. Розроблена конструкція стенду для проведення лабораторних досліджень аксіально-поршневих агрегатів гіdraulічних трансмісій дозволяє

забезпечити необхідні режими випробування згідно технічних вимог на обкатку та випробовування.

11. Результати дослідження характеру і виду зношенння кільцевої опори показали, що переважним видом зношенння кільцевої опори п'яти плунжера є

гідро абразивне зношенння, яке обумовлює виникненню рисок і каналів, які приводять до втрат робочої рідини і порушенню плоскостності між поверхнями

тертя і прискореному зношенню опори, процес переходу до новного зношенння п'яти і її вириву проходить на завершений стадії швидко і обумовлюється висотою

кільцевої опори, которую можна застосувати як структурний параметр.

Розходження розрахункового значення втрат робочої рідини з врахуванням середнього зазору, над фактичним не дозволяє застосувати розглянутий вираз в аналітичних дослідженнях для визначення взаємозв'язку між середнім значенням зазору в спряженні і втратами робочої рідини для різних значень зазору, які залежать від наробітку гідромашини.

13. Експериментально отримані результати показують, що при зазорі в спряженні «втулка блоку-плунжер» -  $\delta = 60 \text{ мкм}$  втрати робочої рідини досягають  $87 \text{ см}^3/\text{с}$  (при  $(P_n = 21,0 \text{ МПа})$ ), що суттєво не буде впливати на об'ємний ККД гідроприводу, так як насос підживлення в змозі їх компенсувати.

14. Втрати робочої рідини, обумовлені зношеннем деталей спряження «втулка блоку-плунжер» в діапазоні робочих спрацювань  $24\dots25 \text{ мкм}$  (які найбільш частіше виникають в умовах експлуатації) не обмежують роботоздатність плунжерної пари, а лише доповнюють сумарні об'ємні втрати, що дає основу для введення розширеных ремонтних допусків на зазор в спряженні «втулка блоку-плунжер».

15. Зношенння кільцевої опори п'яти плунжера по висоті в більшій мірі впливає на механічні втрати, про що свідчить температурний режим роботи пари

тертя, який знаходиться в межах від  $T_{n,u} = 40\dots45^\circ\text{C}$  для не зношеної кільцевої опори і більше  $T_{n,u} = 100^\circ\text{C}$  для зношеної опори з завальцованими отворами статичного підпору при номінальному режимі роботи аксіально-поршневого гідромотора.

16. Тривала експлуатація п'яти плунжера зі зношеною кільцевою опорою приводить до аварійної відмови гідроагрегату та гідроприводу в цілому із-за вириву п'яти із заробки плунжера, який важко спрогнозувати, що потребує жорсткого контролю технічного стану п'яти плунжера.

17. Проведені розрахунки техніко-економічної ефективності показують, що при впровадженні конструктивних змін в процесі ремонту аксіально-поршневих гідромашин збільшується річна програма ремонту на 50 агрегатів, рівень рентабельності складе 19,1 %, річний економічний ефект становить

65710,8 грн, а термін окупності матеріальних затрат 0,9 року, що вказує на доцільність проведених досліджень.

Розгляд питань з охорони праці при дослідженні надійності аксіально-поршневих гідромашин дав можливість індиферентувати шкідливі і небезпечні виробничі фактори, які виникають в процесі роботи, і розробити заходи для їх

усунення, до яких слід віднести розрахунок повітрообміну в приміщенні лабораторії, результати якого показали, що фактична концентрація шкідливих речовин в повітрі за час дослідження не буде перевищувати гранично допустиму

концентрацію ( $g_{\phi} = 0,754 \text{ г / м}^3 > g_{\text{здк}} = 1,5 \text{ г / м}^3$ ), що дозволяє обмежитися в

приміщенні природним повіtroобміном.

**НУБІП України**

**НУБІП України**

**НУБІП України**

**НУБІП України**

#### СПИСОК ВИКОРИСТАНИХ ДЖЕРЕЛ

- 1 Гидронасос НПА-90Р. Технический паспорт / ОАО «Гидросила», 2006.-20 с.
- 2 Балыков Н.М. Обеспечение работоспособности и повышение ресурса гидроприводов сельскохозяйственной и мелиоративной техники применением

комплексных покрытий: автореф. дис. канд. техн. наук. Саратов, СГАУ 2002.-

16с

3 Камчугов Н.В.

Причины появления ресурсных отказов и оценка долговечности гидростатических трансмиссий сельскохозяйственной техники: автореф. дис. канд. техн. наук, Челябинск, ЧИМЭСХ, 1992. -16 с.

4 Прокофьев В.Н.

Аксиально-поршневой регулируемый гидропривод / В. Н. Прокофьев. М.: Машиностроение, 1968. - 495 с.

5. Сато Я.

Влияние загрязнений рабочих жидкостей на характеристики гидравлических механизмов,// Я. Сато, М. Сасаки - Юнкайд Гидзону. №1.-

1976. С.27-34.

6 Вакуленко И. А,

Повышение эксплуатационной надежности гидроприводов строительных и дорожных машин применением рациональной очистки рабочих жидкостей,// Автореферат канд. дисс-Харьков, 1989. - С.19.

7. Дидур В.А.

Влияние технологической среды на износ гидроагрегатов / В.А. Дидур // Техника в сельском хозяйстве. 1984. №3, С. 41.

8 Волков В.И,

Совершенствование системы очистки масла в автомобильном двигателе: Автореферат канд. дисс. - М., 2000. - 18 с.

9. Технічний регламент безпеки машин та устаткування, затверджений

Постановою Кабінету Міністрів України від 12 жовтня 2010 № 933 - К.: К.: Центр учебного літератури 2010. - 124 с.

10. Остриков В. В.

Смазочные материалы и изменение их свойств при эксплуатации сельскохозяйственной техники [Текст] / В. В. Остриков, Н. Н. Тупотилов, В. П. Коваленко, В. В. Жилин - Тамбов, ВИИТИН, - 2003. - 68 с.

11. Бродский Г.С.

Фильтры и системы фильтрации для мобильных машин. / Г.С. Бродский - М.: Горн, пром.- 2004. - 360 с.

12. ГОСТ Р 50554 -93. Промышленная чистота. Фильтры и фильтрующие

елементы. Методы испытаний. - М.: Изд. Стандартов, 1993.- 35с.

13. Королев И. А.

Пути повышения чистоты рабочей жидкости гидросистем сельскохозяйственной техники / И. А. Королев - Молодые ученые -сельскому хозяйству. Сб. научных трудов. - М., ФГОУ ВПО МГАУ, 2006. - С.216.

14. Королев И. А. Экспресс-метод контроля загрязненности рабочих жидкостей гидравлических систем. / И. А. Королев, В. П. Коваленко, Е. А. Улюкина / Очистка рабочих жидкостей в гидравлических системах тракторов и сельскохозяйственных машин. Сб. научных трудов международной научно-технической конференции. - СПб, СПбГАУ, 2007.- С. 361 – 373.
15. Королев И.А. Обоснование эксплуатационных параметров фильтроэлемента для очистки рабочих жидкостей в гидравлических системах. Международной научно-практической конференции. - СПб, СПбГАУ, 2007.- С. 45-48.
16. Королев И. А. Разработка фильтроэлементов для очистки рабочих жидкостей в гидравлических системах сельскохозяйственной техники [Текст] / И. А. Королев, В. П. Коваленко, Е. А. Улюкина / Разработка фильтроэлементов для очистки рабочих жидкостей в гидравлических системах сельскохозяйственной техники. Вестник МГАУ, АгроИнженерия №1. - М., ФГОУ ВПО МГАУ, 2008 - с122.
17. Мартыненко А. Г. Очистка нефтепродуктов в электрическом поле постоянного потока [Текст] / А. Г. Мартыненко, В. П. Коноплев, Г. Н. Ширяева - М.: Химия, 1974. - 88 с.
18. Жужико В. А. Фильтрование. Теория и практика разделения суспензий [Текст] / В. А. Жужиков - М.: Химия, 1980. - 400 с, Пат. РФ. Электроцентробежный очиститель жидкости Ю. А. Микипорис, Б.А. Русаков. №2014153, Бюлл. изобр. №4, 15.06.1994.
19. Пат. РФ. Электроцентробежный очиститель жидкости. Ю. А. Микипорис, Н.Н. Красиков. №2056951. Бюлл. изобр. №9. 27.03.1996.
20. Белянин П. Н. Центробежная очистка рабочих жидкостей авиационных гидросистем [Текст] / П. Н. Белянин - М.: Машиностроение, 1976. - 328 с
21. Kozeny I. (1927 a) S. Ber. Wiener Akad., abt., 136, 271.
22. ГОСТ 12.0.003 ССБТ. Опасные и вредные производственные факторы. Классификация М.: Изд-во стандартов, 2003.- 125 с.
23. ДБН В.1.1-7-2002. Захист від пожежі. Пожежна безпека об'єктів будівництва. К.: Держбуд України, 2003 – 47 с.

24. НПАОП 40.1-1.01-97 Правила будови електроустановок. Електрообладнання спеціальних установок. – К.: Держгірпромнагляд України, 2001 – 94 с.
25. Буренік ю. а. Гіdraulіка і гідропневмопривод. Навчальний посібник. ч. I. Гіdraulіка і гідропривод/ Ю.А. Буреніков, І. А. Немировський, Л. Г. Козлов; МОН України. – Вінниця: ВНТУ, 2003. – 123 с.
26. Гіdraulіка, гідро- та пневмоприводи, гідропневмоавтоматика: лабораторний практикум/Ю.А.Буреніков, О.В.Деріб, Л.Г.Козлов; ВНТУ – Вінниця: ВНТУ, 2016.– 100 с
27. Гіdraulіка, гідро- та пневмоприводи: курсове проектування для студентів напрямів підготовки 6.050502 «Інженерна механіка», 6.050503 – «Машинобудування» : навчальний посібник/ Ю. А. Буреніков, Л. Г. Козлов, В. П. Пурдик, С. В. Репінський, ВНТУ – Вінниця, 2014. – 238 с.
28. Гидравлика: Основной курс: Учебное пособие. Т.2 /Д. Меркле, Б. Шрадер, М. Томес.– К.: ДП «Фесто», 2002.– 281 с.
29. Гіdraulіка, гідромашини та гідропневмоавтоматика: підручник /Л.Є. Пелевін, Д.О. Мішук, В.П. Рацківський [et al.]; МОН України, КНУБА. – Київ: КНУБА, 2015.
30. Гіdraulіка: підручник/В.А. Дідур, Д. П. Журавель, М.А. Палішкін; за ред. проф В. А. Дідур. – Херсон: ОЛДІ-ПЛОС, 2015.– 624 с.
31. Іванчук Я. В. Гіdraulіка, гідро- та пневмоприводи: навчальний посібник. ч. I. Основні закони, рівняння і визначення Я. В. Іванчук, Р. Д. Ісковиць-Лотоцький; ВНТУ. – Вінниця: ВНТУ, 2019. – 183 с.
32. Кулінченко В. Р. Гіdraulіка, гіdraulічні машини і гідропривід: Підручник/ МОН України; НУХТ. К: «Фірма «ІНКОС», Центр навч літ-ри, 2006.– 616 с.
33. Мельничук С. В. Гіdraulічні системи автомобіля: навчальний посібник/ МОН України, ЖДТУ. – Житомир: ЖДТУ, 2004. – 294 с.: іл.
34. Методичні вказівки до виконання самостійної роботи з дисципліни «Гіdraulіка та гідропневмопривод» ВНТУ ; уклад.: Р. Д. Ісковиць-Лотоцький, Я. В. Іванчук – Вінниця: ВНТУ, 2015.– 66 с.
35. Монтаж, експлуатація та ремонт гідромашин і гідропневмоприводів.

- навчальний посібник / В. О. Панченко, О. Г. Гусак, А. А. Панченко, С. О. Хованський; СумДУ. – Суми: Сумський державний університет, 2015. – 151 с.
36. Основоположник вітчизняної гіdraulіки: Т. Башта / Урядовий кур'єр. – 2019. – 9 лютого (№ 27). – С. 6.
37. Гевко Б.М. Гідропривод і гідроавтоматика сільськогосподарської техніки : посібник / Б.М. Гевко, С.Г. Білик., А.Ю. Діник, О.В. Фльонц. – Тернопіль : Вид-во ТНТУ імені Івана Пулюя, 2015. – 384 с.
38. Маяк В. И. Гидравлика и гидравлические машины : уч. пособие / В. И. Маяк, В. М. Михайлов, О. А. Маяк. – Х. : Харьк. гос. ун-т питания и торговли, 2007.
39. Гіdraulіка : навчальний посібник / Л. В. Возняк, П. Р. Гімер, М. І. Мердук, О. В. Паневник. – Івано-Франківськ : ІФНТУНІ, 2012. – 327 с.
40. Константінов Ю. М. Технічна механіка рідини та газу : підручник / Ю. М. Константінов, О. О. Гіжа. – К. : Вища шк., 2002. – 277 с.
41. Кулінченко В. Р. Гіdraulіка, гіdraulічні машини і гідропривід : підручник / В. Р. Кулінченко. – Київ : ІНКОС, Центр навчальної літератури, 2006. – 616 с.
42. Буренников Ю. А. Гіdraulіка, гідро- та пневмоприводи : навч. посібник / Ю. А. Буренников, І. А. Немировський, Л. Г. Козлов. – Вінниця : ВНТУ, 2013. – 273 с.
43. Черевко О. І. Процеси і апарати харчових виробництв : підручник / О. І. Черевко, А. М. Поперечний. – 2-ге вид, доп. та виїр. – Х. : Світ Книг, 2014. – С. 42–86.
44. Черевко О. І. Процеси і апарати харчових виробництв : підручник / О. І. Черевко, А. М. Поперечний. – Х., 2002. – С. 36–76.
45. Методичні вказівки до виконання самостійної роботи з дисципліни «Гіdraulіка та гідропневмопривод»/ВНТУ ; уклад.: Р. Д. Іскович-Лотоцький, Я. В. Іванчук.– Вінниця: ВНТУ, 2015.– 66 с.
46. Т.М. Башта, С.С. Руднев, Б.Б. Некрасов и др., « Гидравлика, Гидромашины и гидроприводы»/Т.М. Башта, С.С. Руднев, Б.Б. Некрасов и др./М.: Машиностроение, 1982. С. 396-398.

47. В.В. Лозовецкий, « Гидро- и пневмосистемы транспортно-технологических машин» / В.В. Лозовецкий. //Лань, 2012. С. 13-17.

48. Буреніков Ю. А. Гіdraulіка, гідро- та пневмонриводи : навч. посібник / Ю.

А. Буреніков, І. А. Немировський, Л. Г. Козлов. – Вінниця : ВНТУ, 2013. –

273 с.

49. Черевко О. І. Процеси і апарати харчових виробництв : підручник / О. І. Черевко, А. М. Поперечний. – 2-ге вид., доп. та випр. – Х. : Світ Книг, 2014. С. 42–86.

50. Мельничук С. В. Гіdraulічні системи автомобіля: навчальний посібник/ МОН

України, ЖДТУ. Житомир: ЖДТУ, 2004. – 294 с.: іл.

51. Гевко Б.М. Гідропривод і гідроавтоматика сільськогосподарської техніки : посібник / Б.М.Гевко, С.Г.Білик, А.Ю.Ліник, О.В.Фльонц. Тернопіль : Вид-

во ТНТУ імені Івана Пулюя, 2015. – 384 с.

52. НПАОП 01.0-1.01-12. Правила охорони праці у сільськогосподарському

виробництві - К.: Держстандарт, 2012. – 129 с.

НУБІП України

НУБІП України

НУБІП **ДОДАТКИ** України

НУБІП України

НУБІП України

НУБІП України

НУБІП України